

FIG. 1

1/38

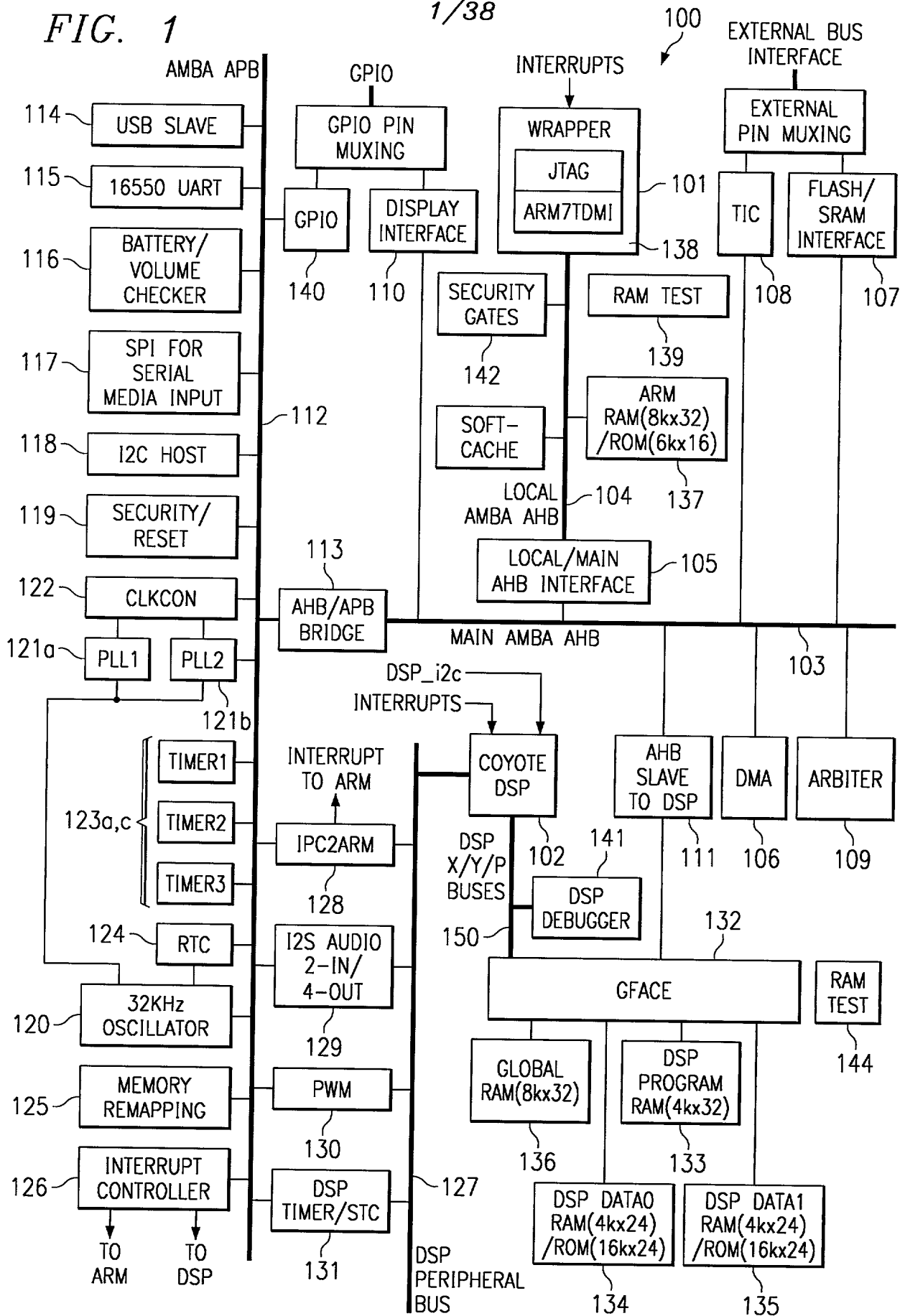


FIG. 2A

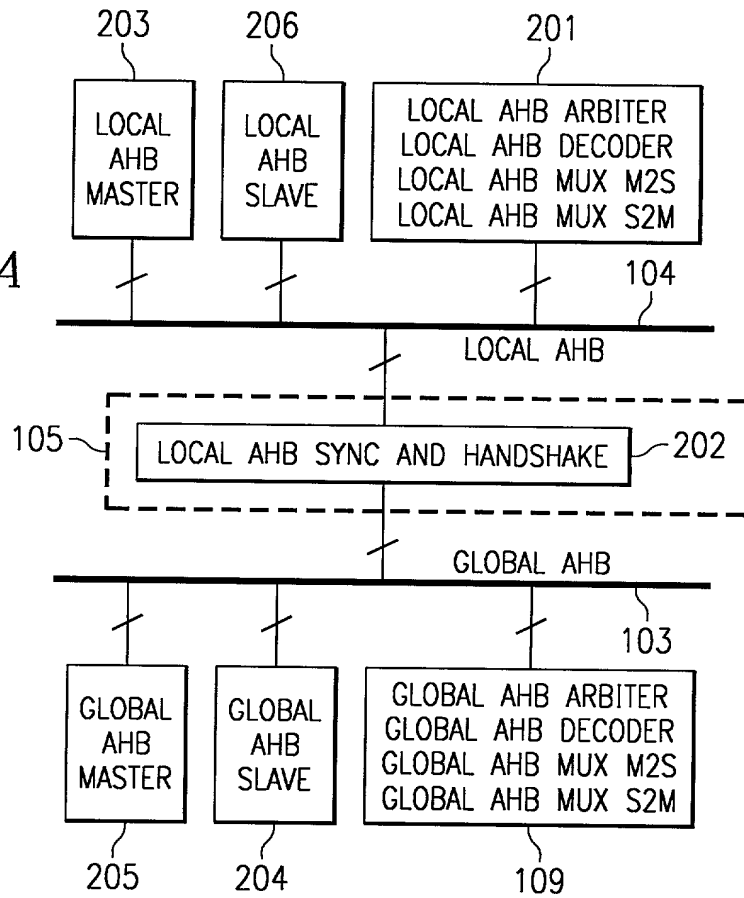


FIG. 3

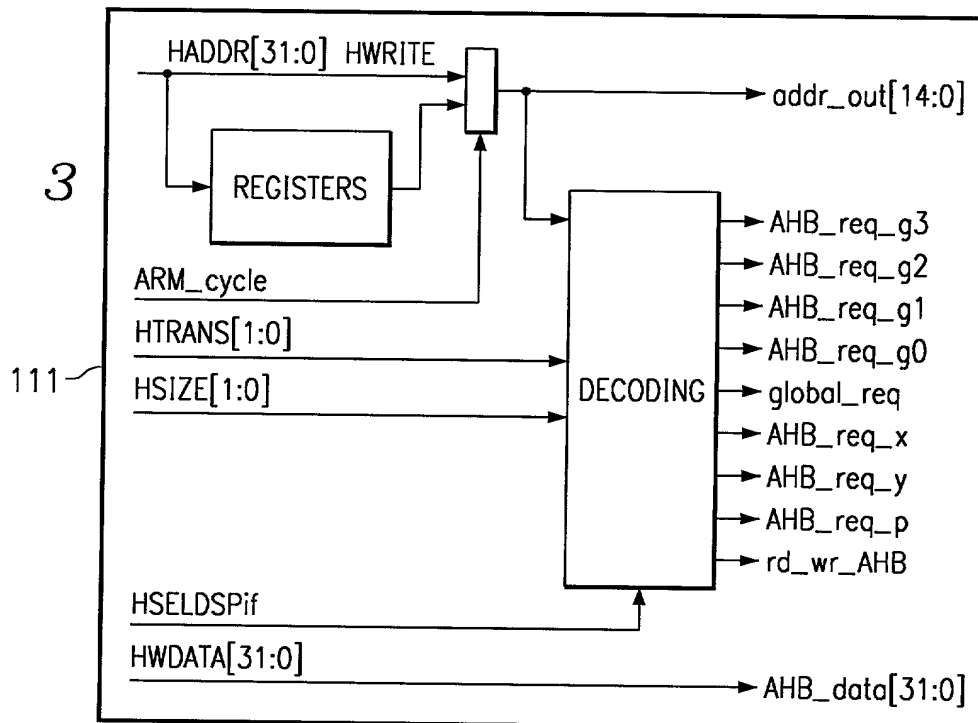


FIG. 2B

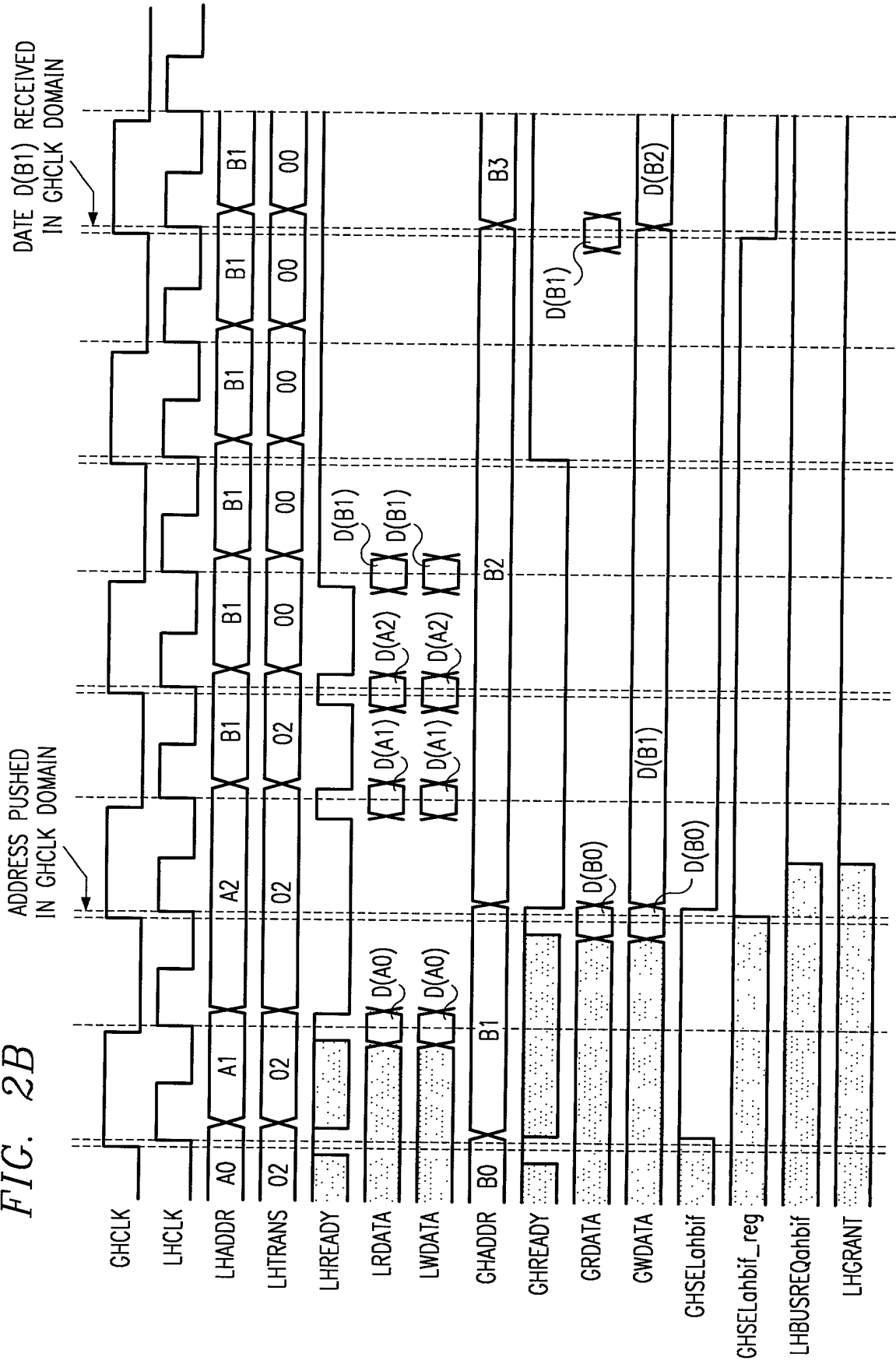
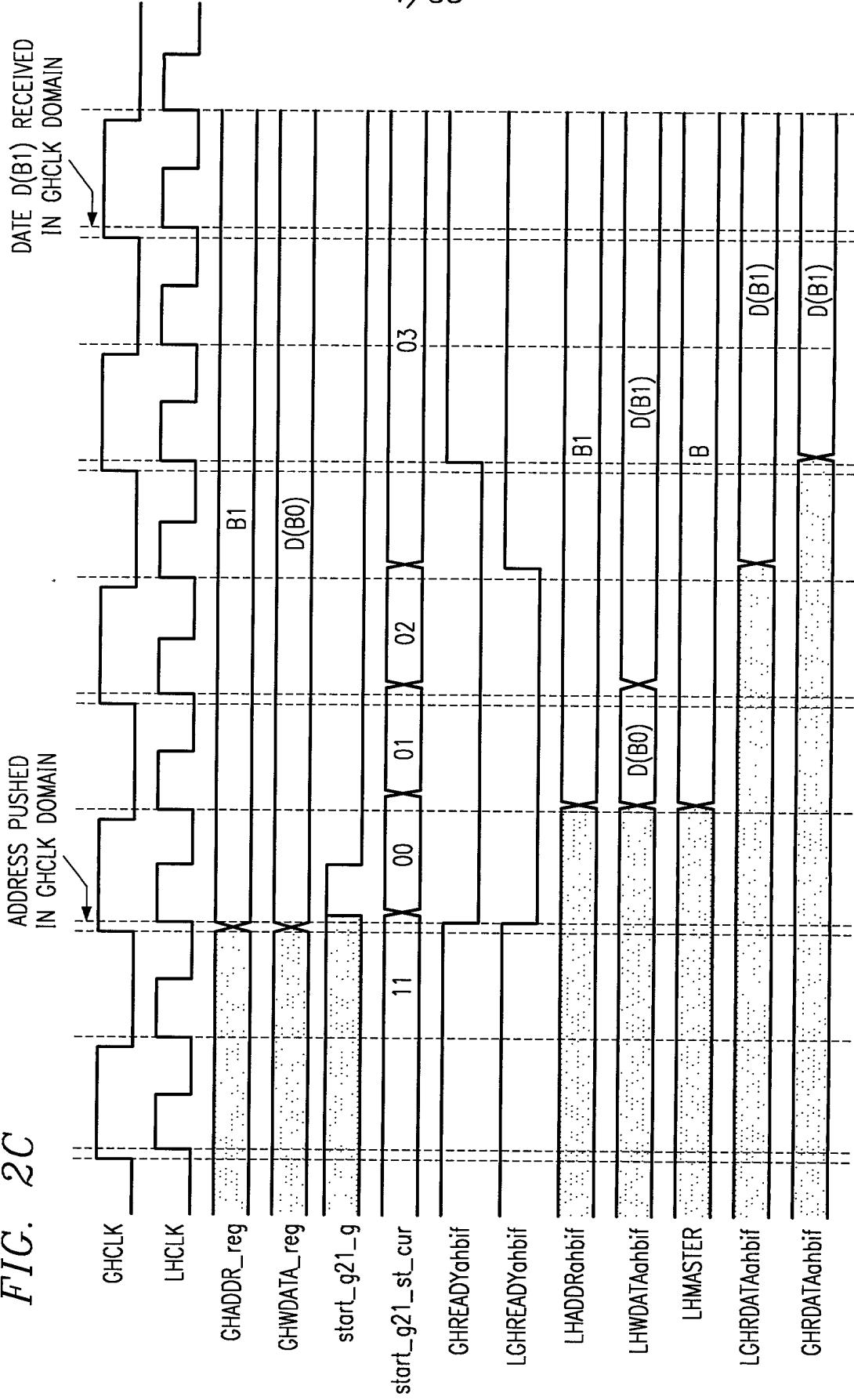
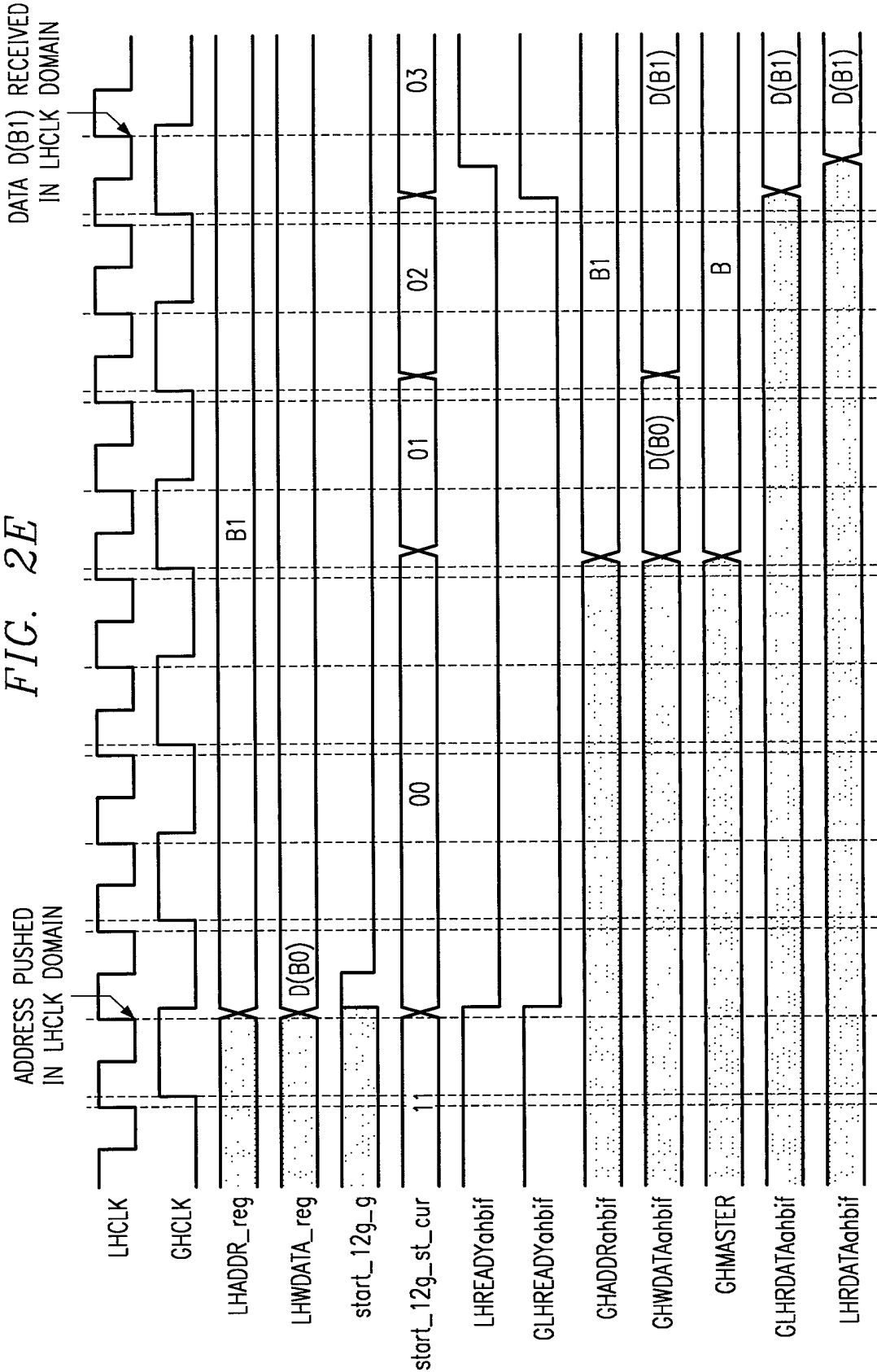
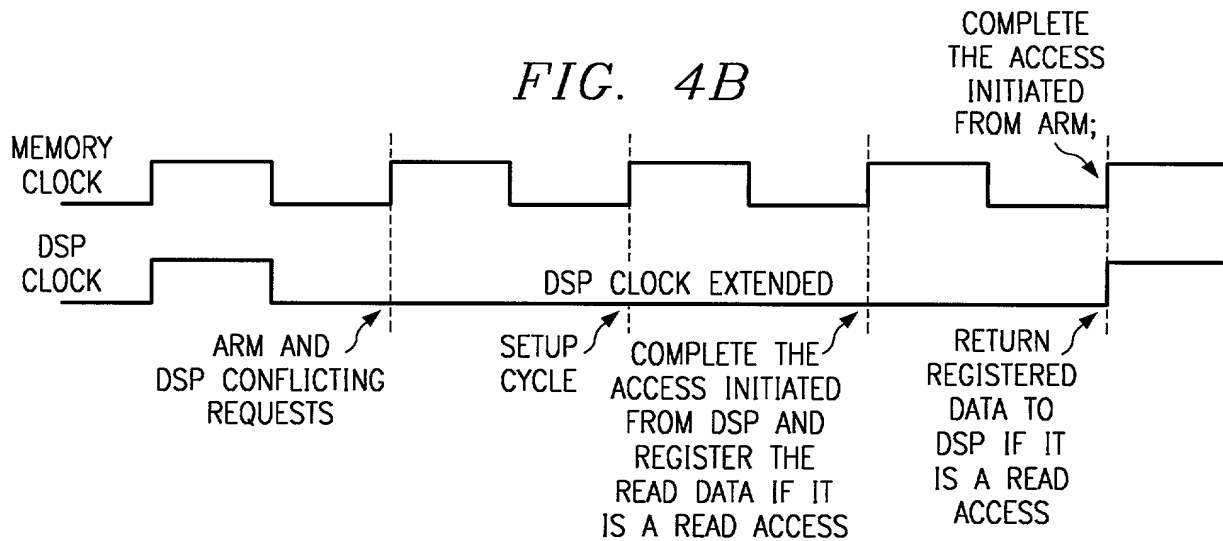
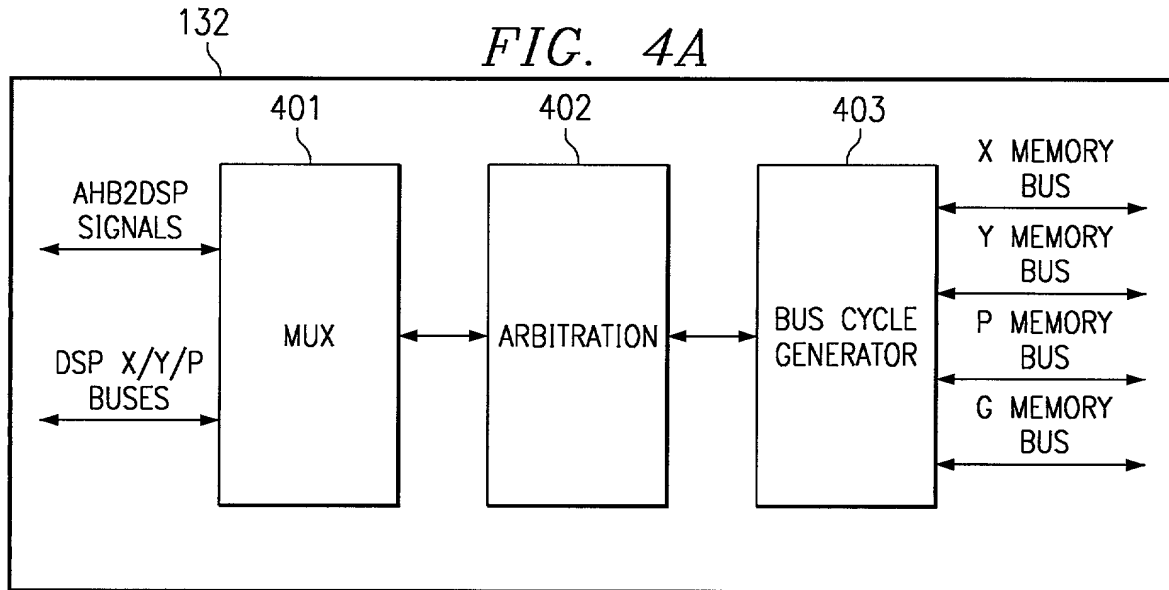
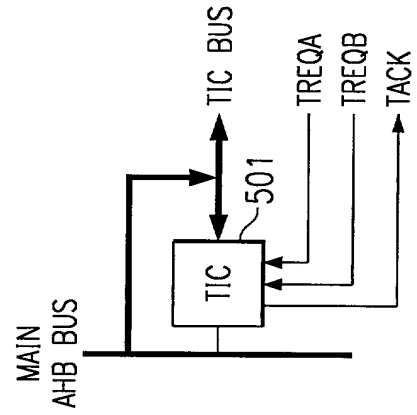
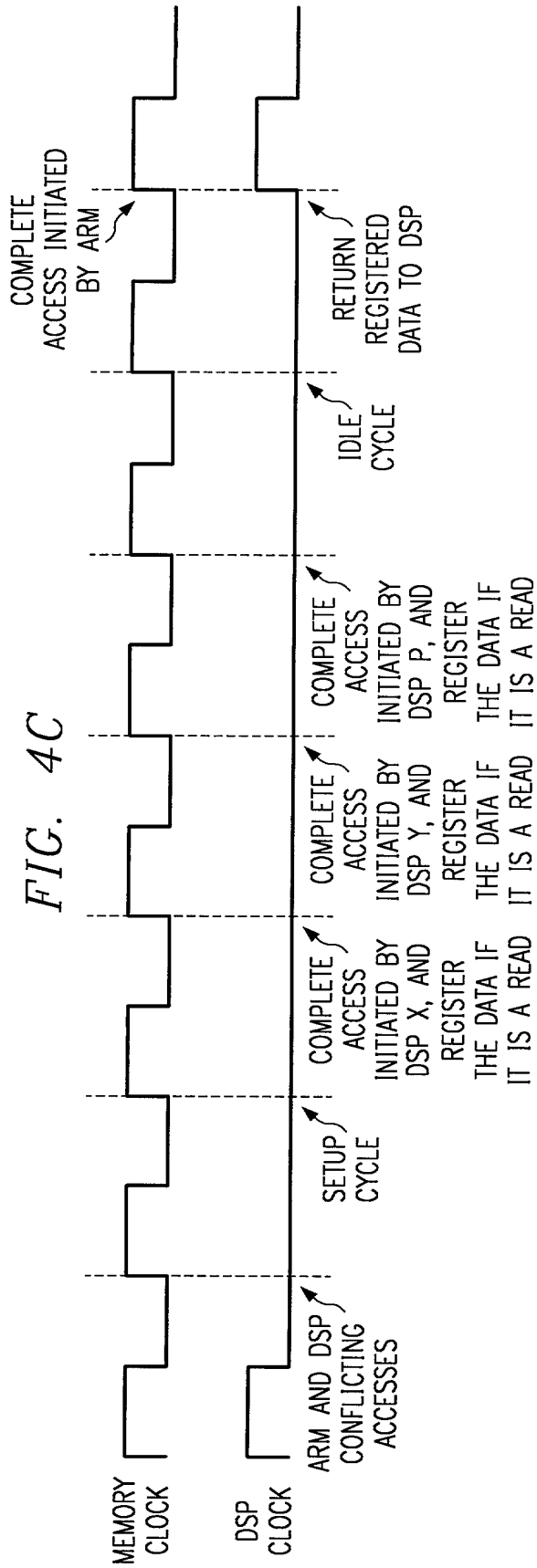


FIG. 2C









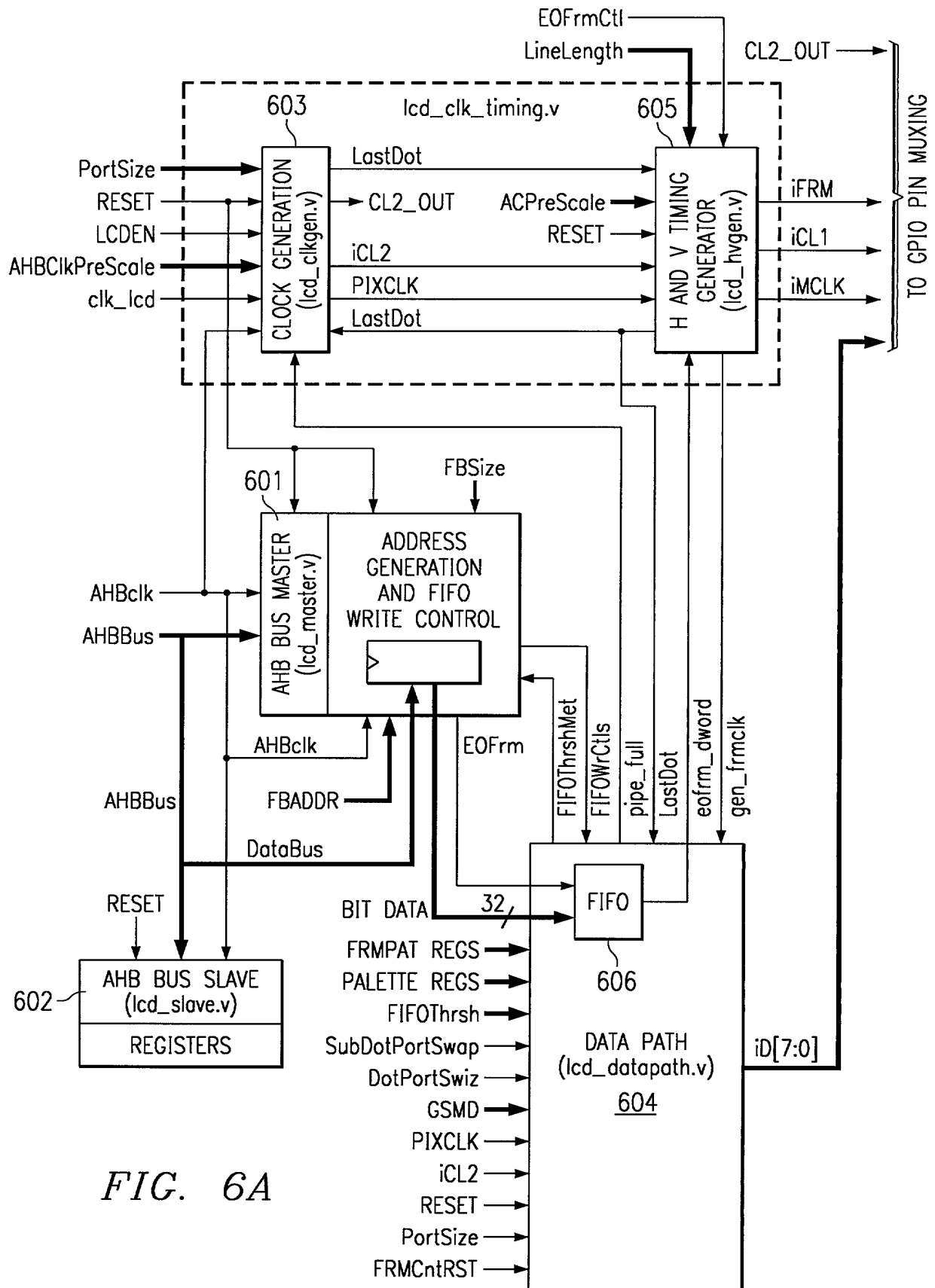


FIG. 6A

FIG. 6B

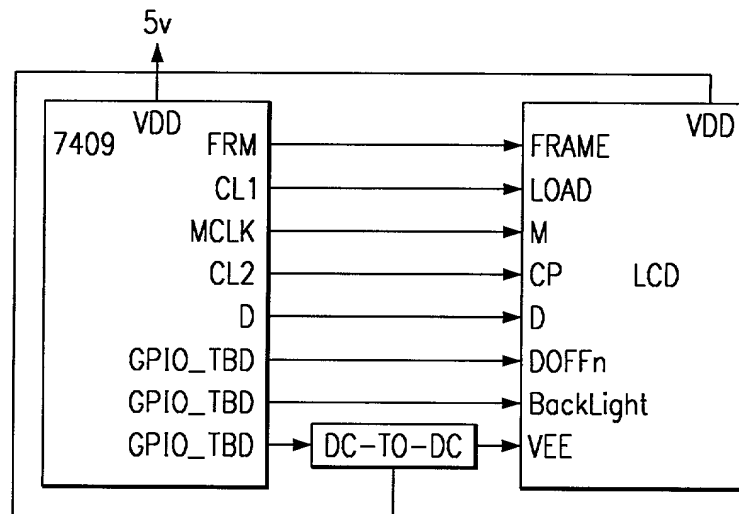


FIG. 6C

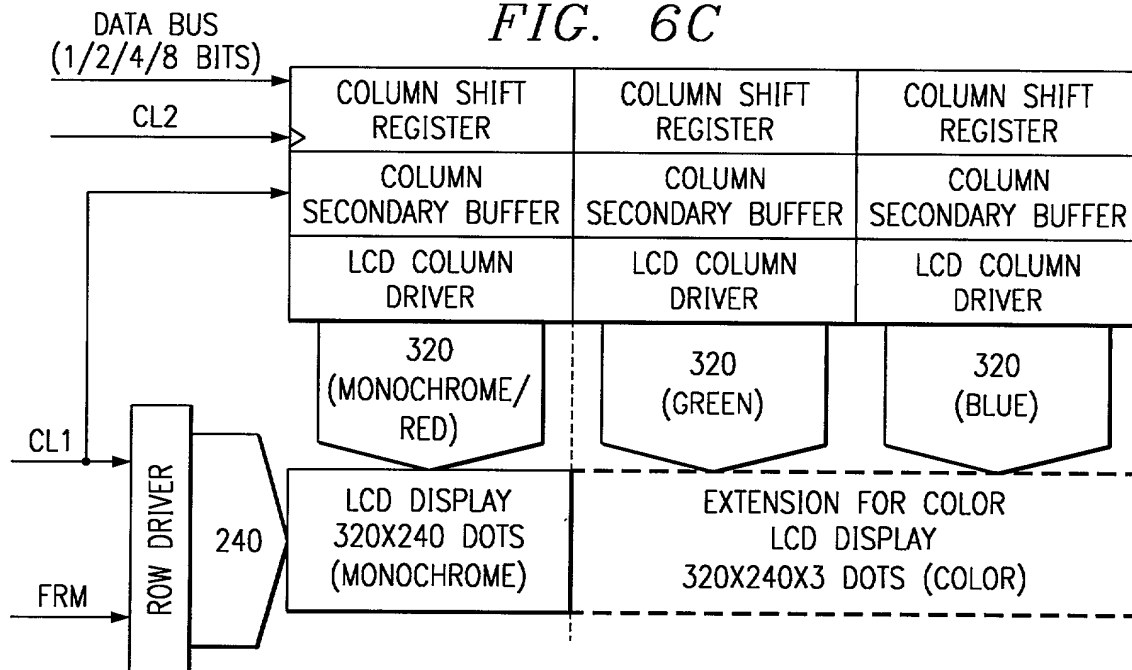


FIG. 6D

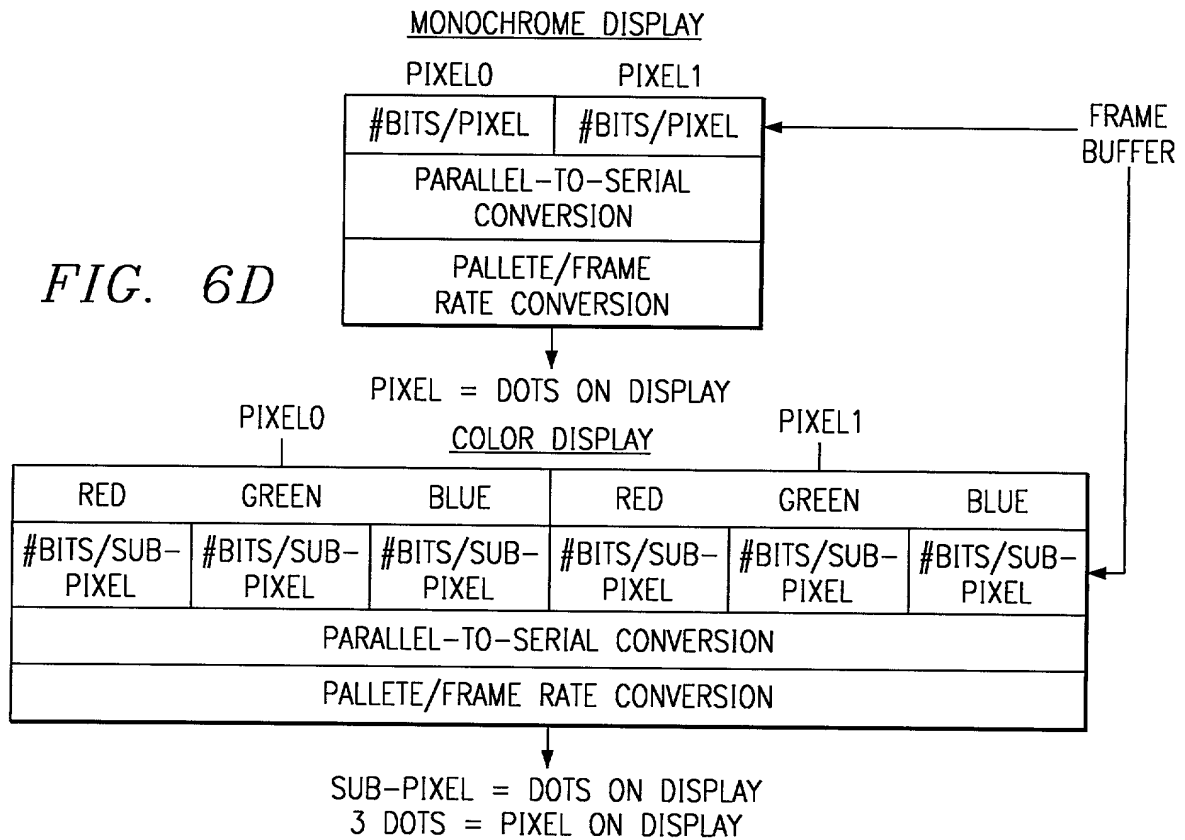


FIG. 6E

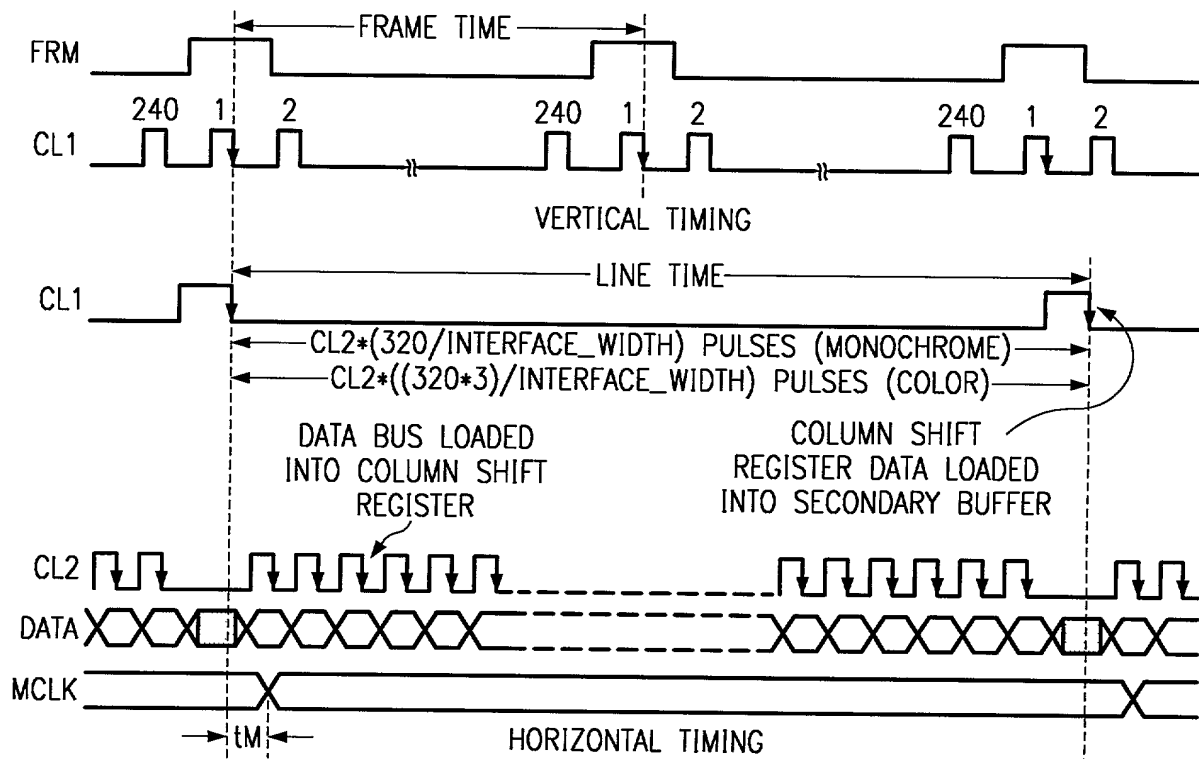
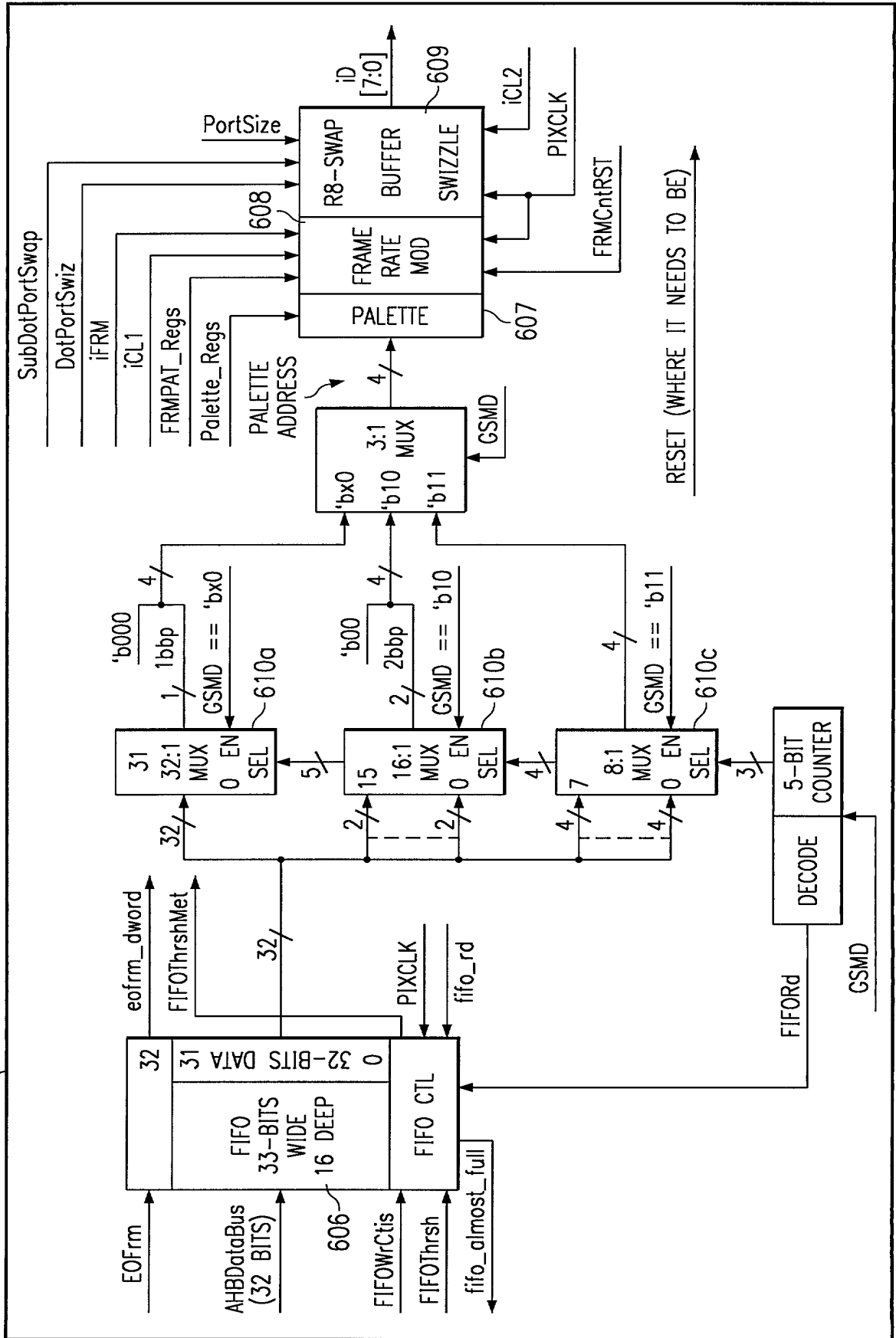


FIG. 6F



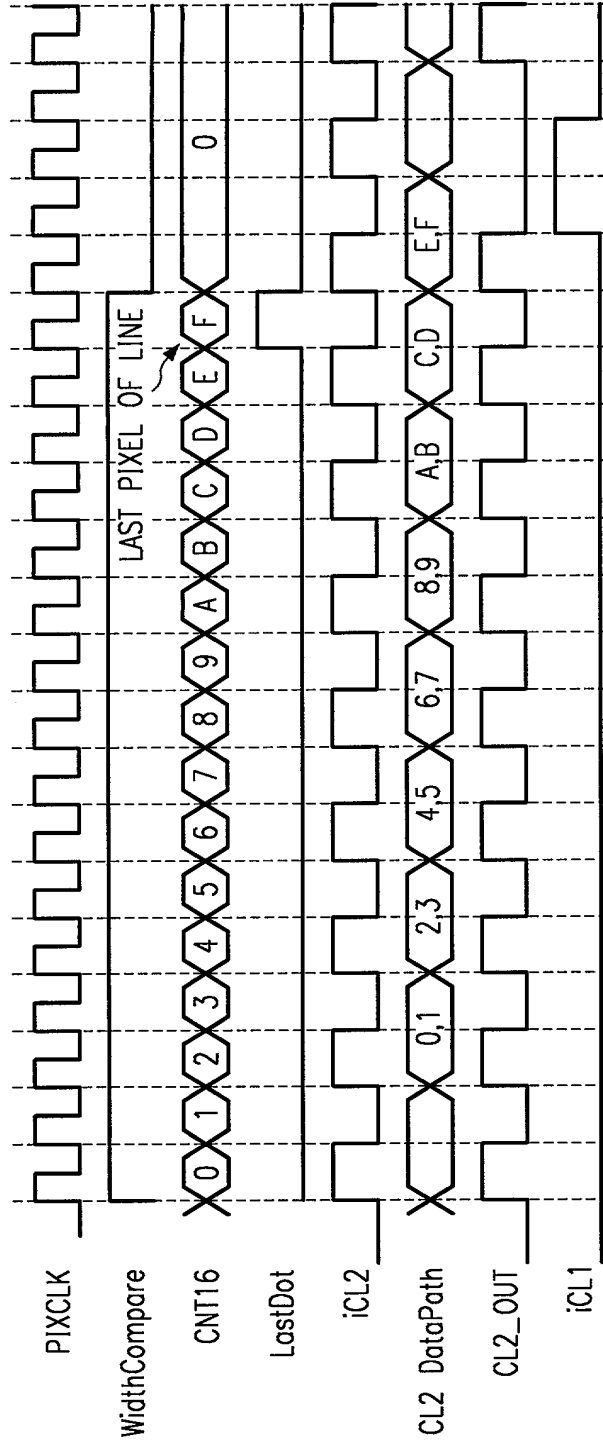


FIG. 6H

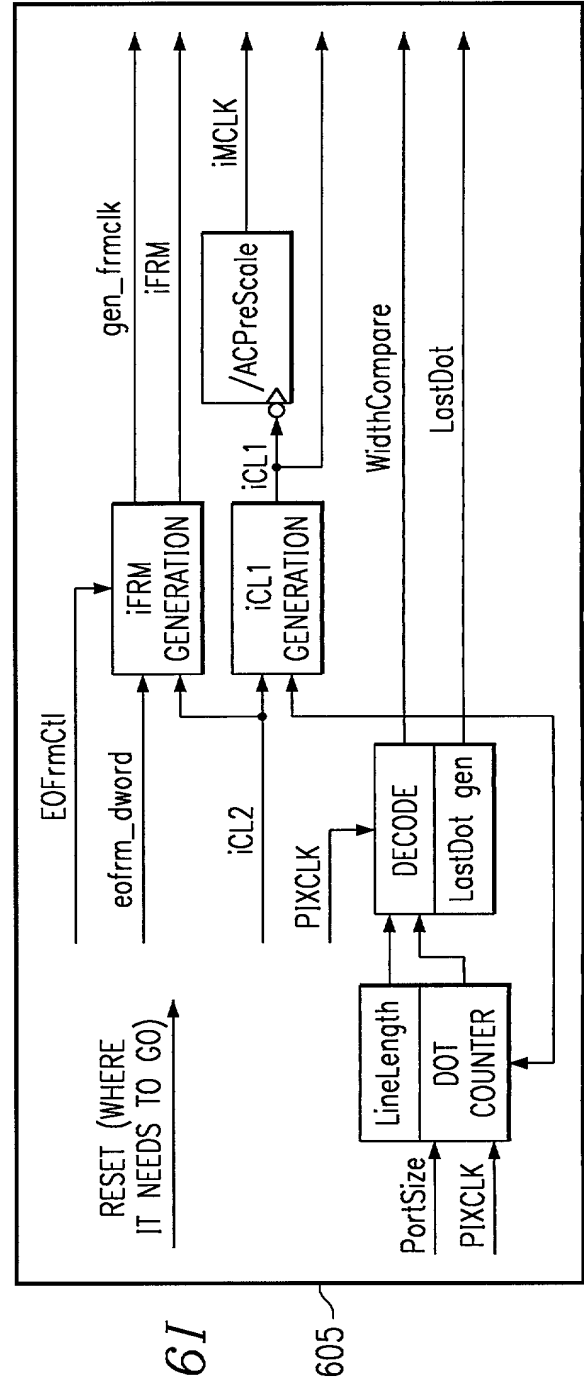


FIG. 6I

605

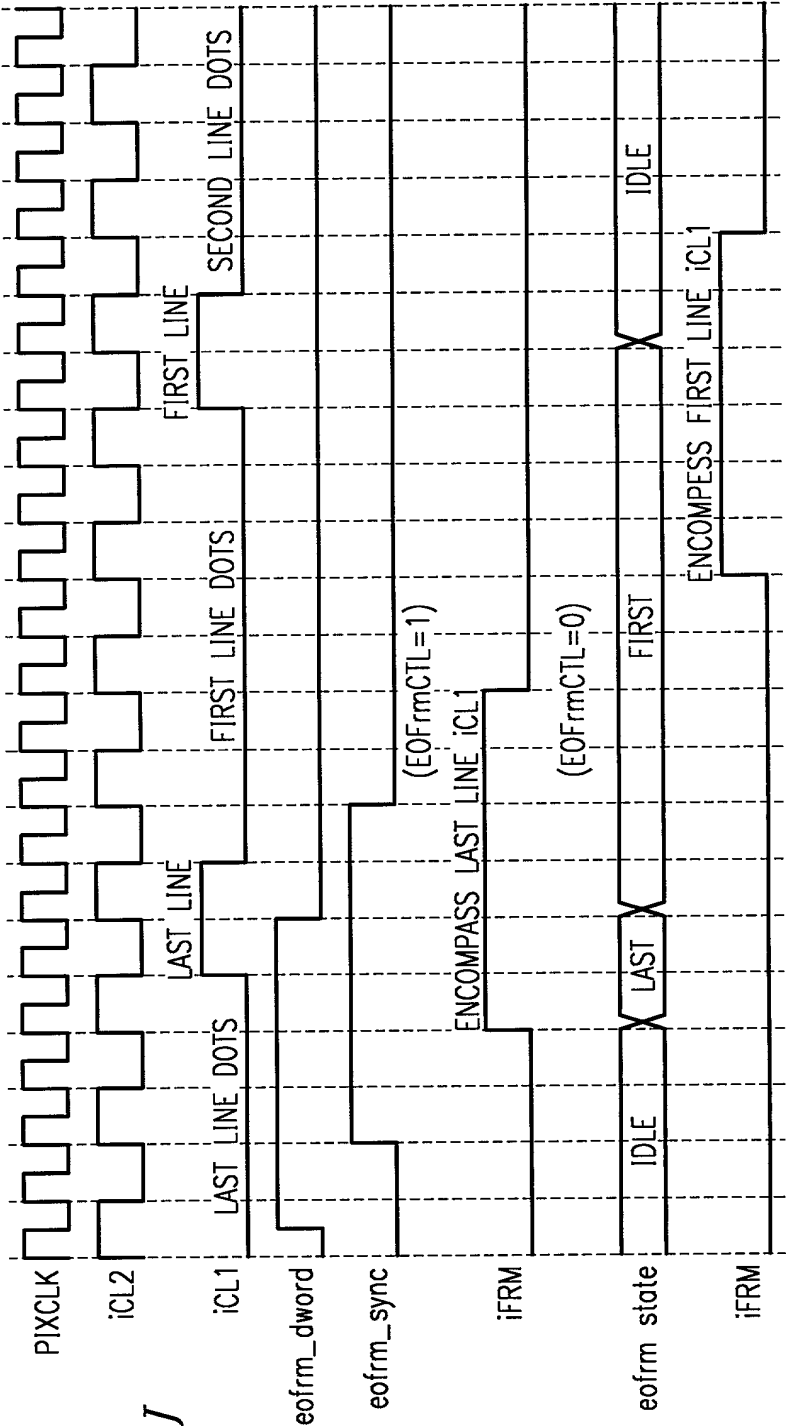


FIG. 6J

FIG. 6K

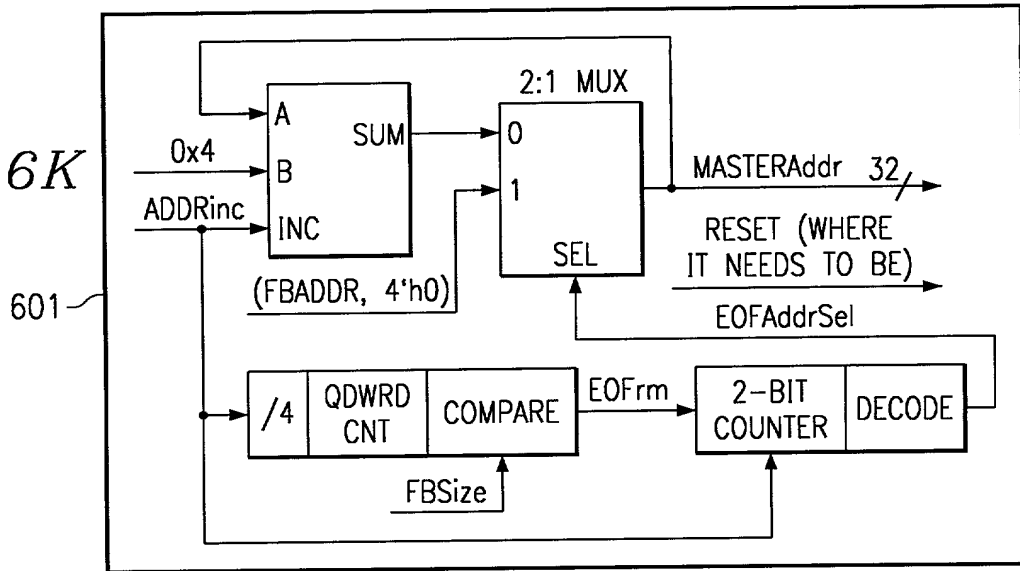


FIG. 17

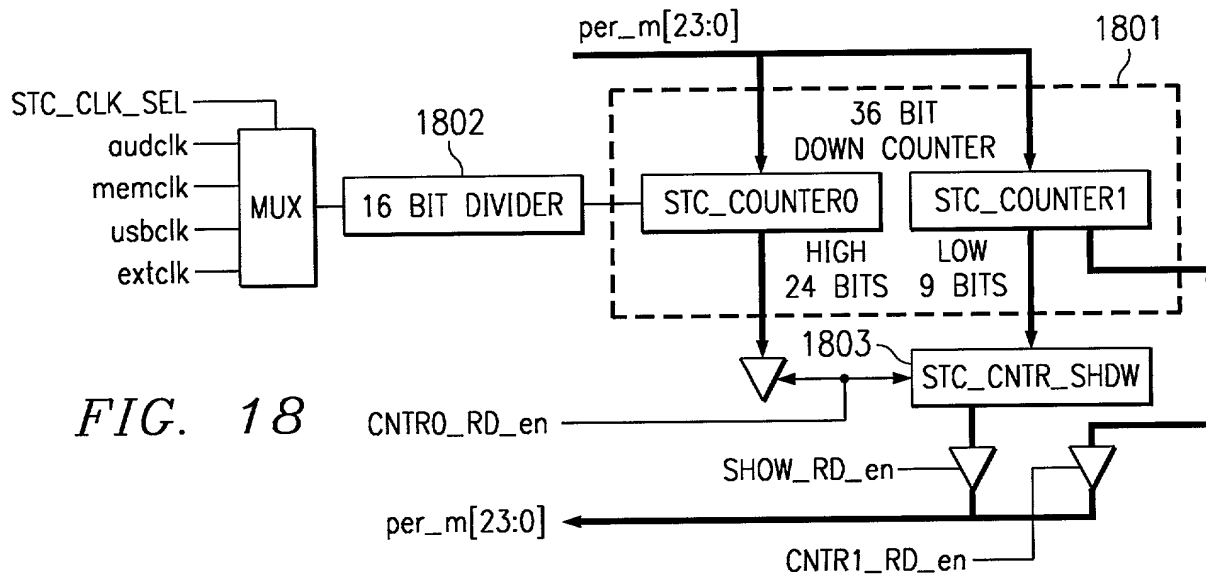
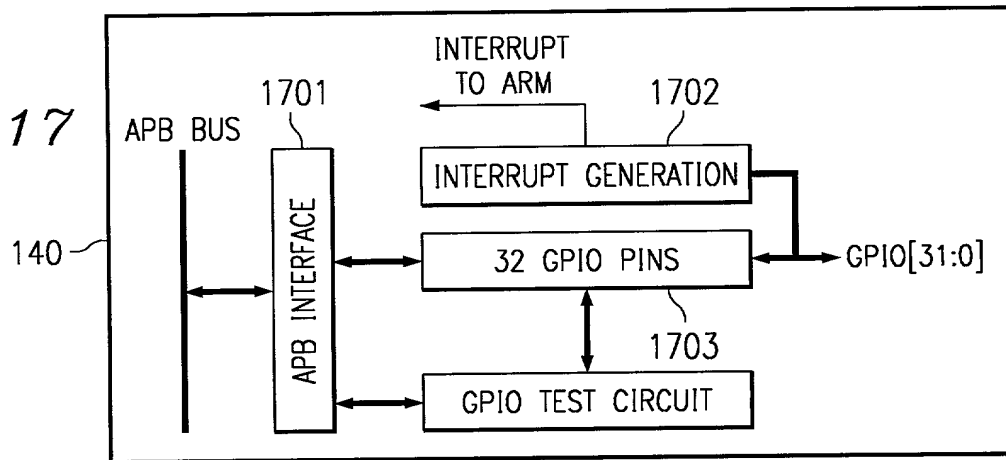


FIG. 6L

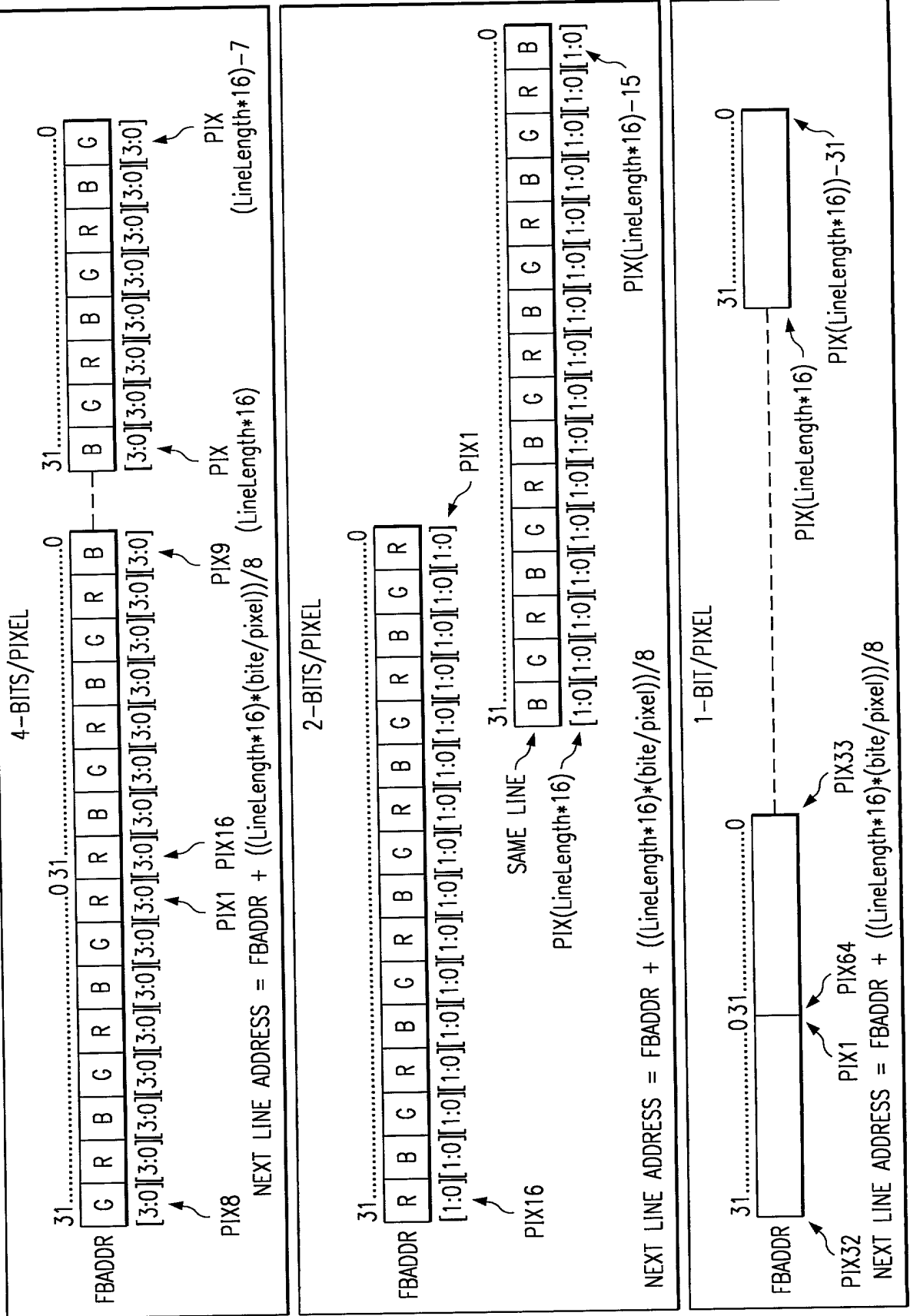
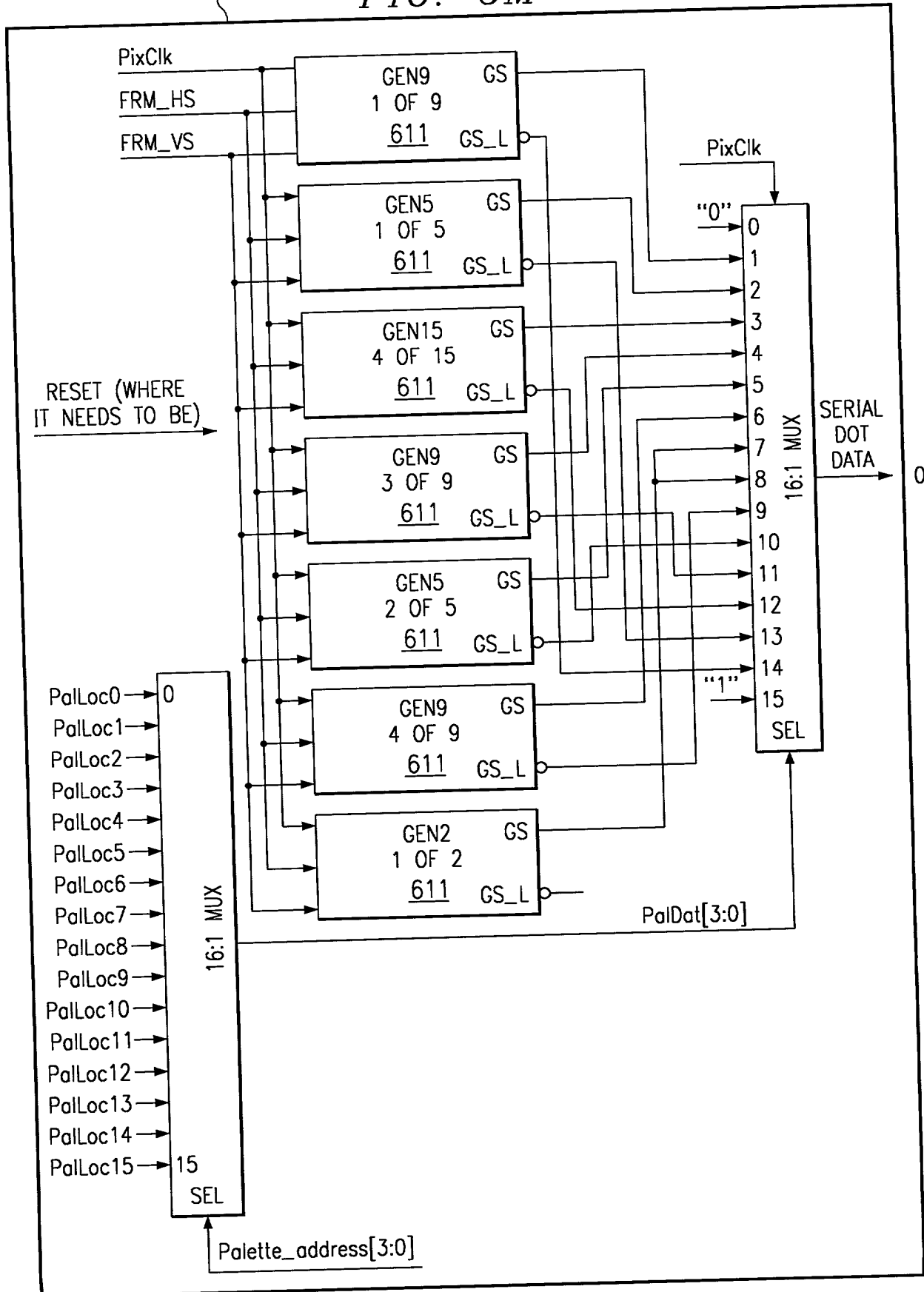
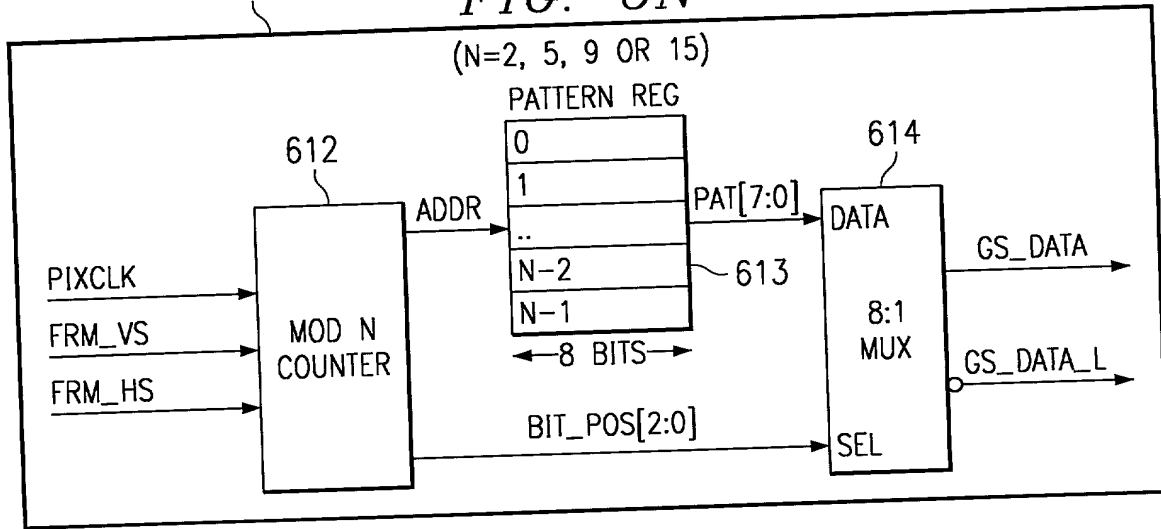


FIG. 6M



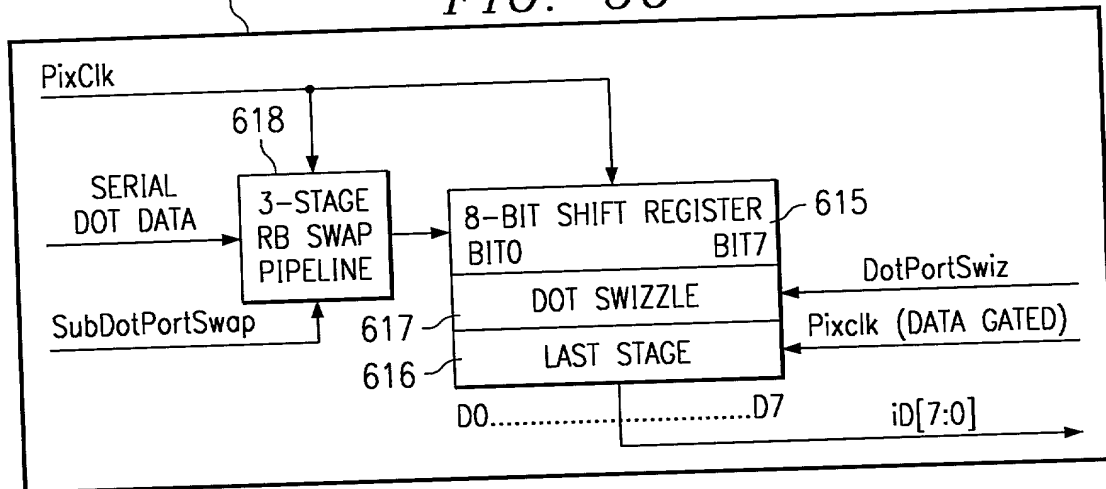
611

FIG. 6N



609

FIG. 6O



TIME (FROM THE SHIFT REGISTER POINT OF VIEW)

FIG. 6P

SubDotPortSwap=0

{BnGnRn}{.....}{B3G3R3}{B2G2R2}{B1G1R1}{B0G0R0}

SubDotPortSwap=1

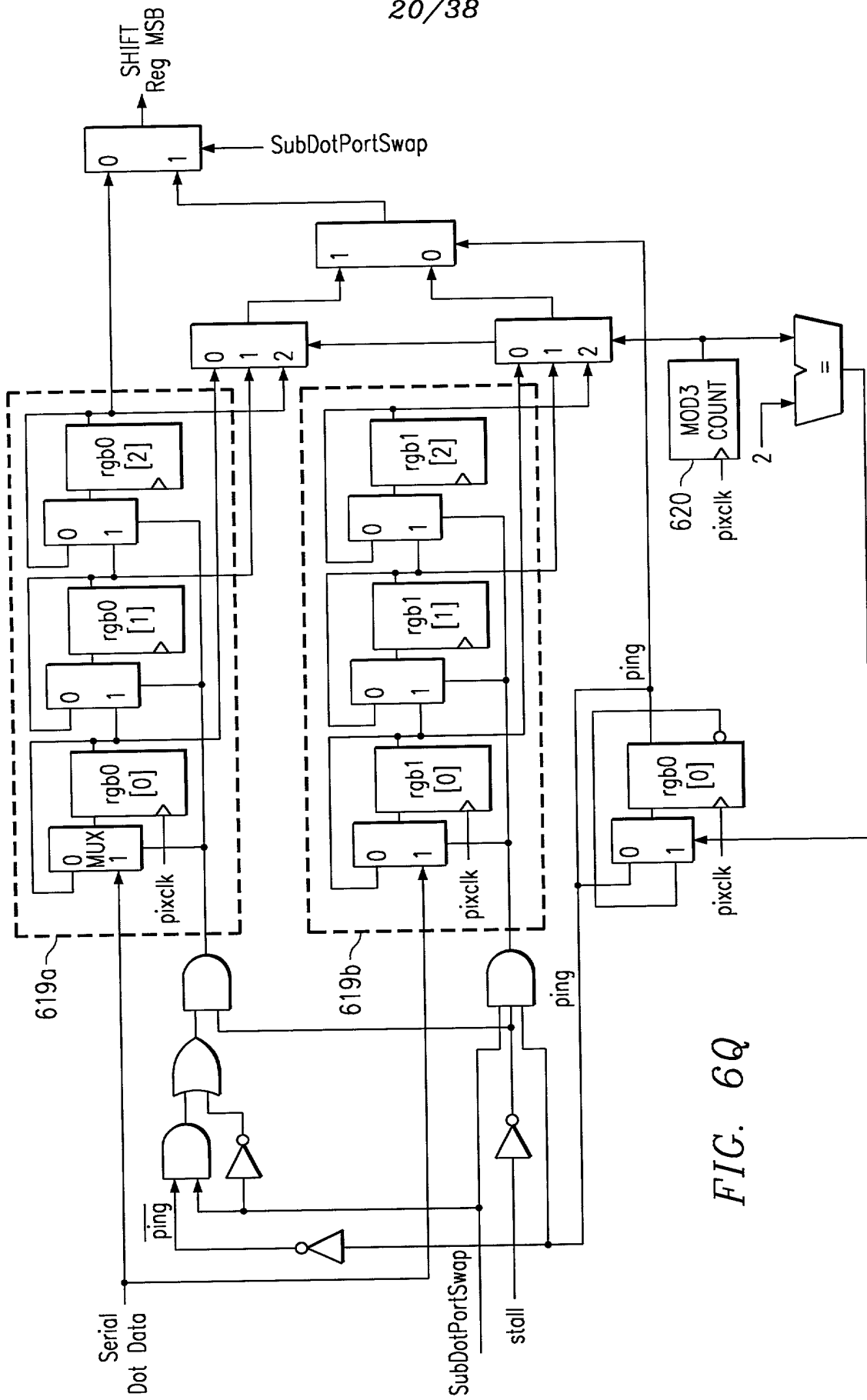


FIG. 6Q

FIG. 6R

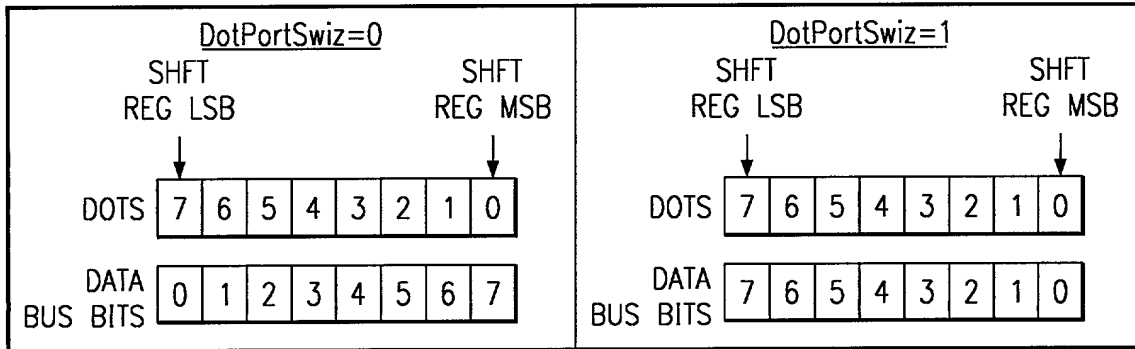


FIG. 6S

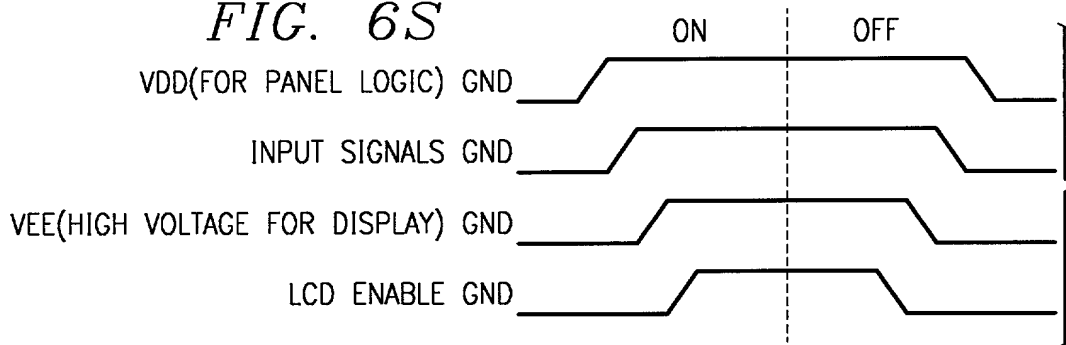


FIG. 7A

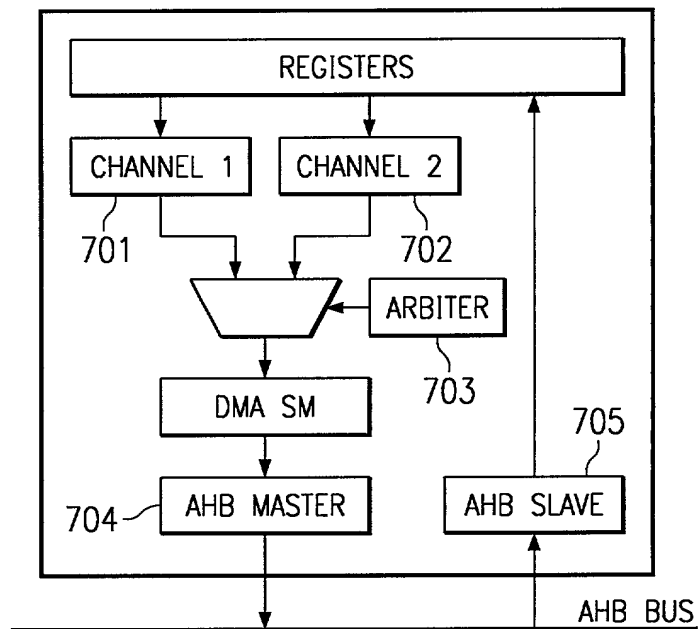


FIG. 7B

22/38

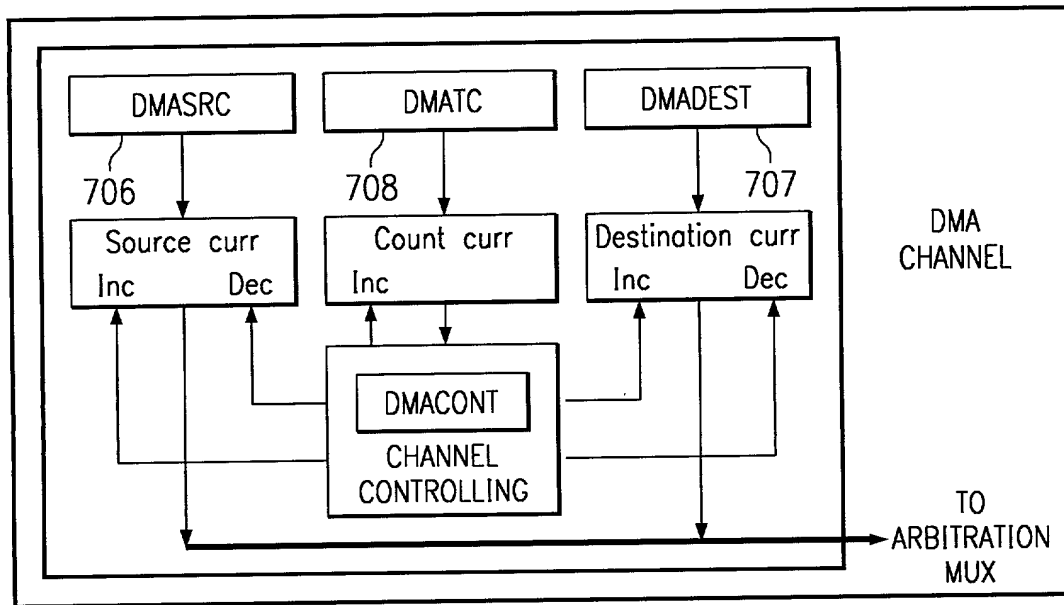
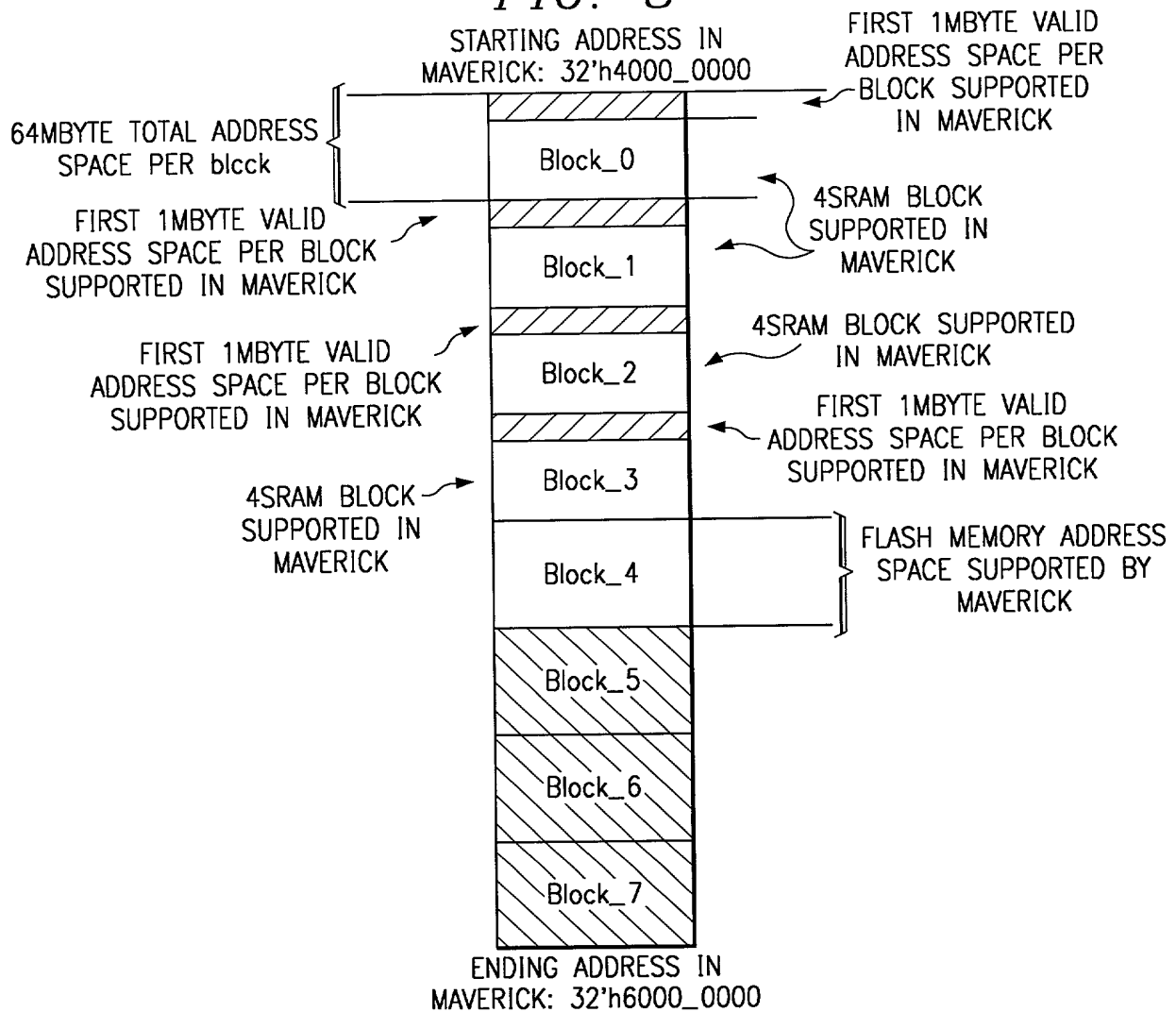


FIG. 8



126

FIG. 9

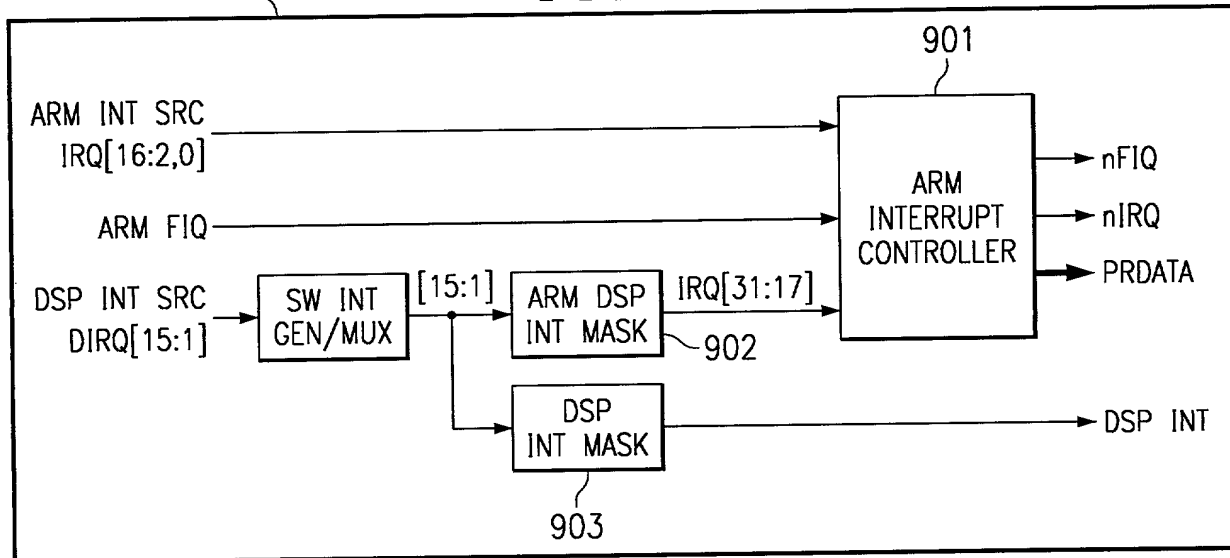
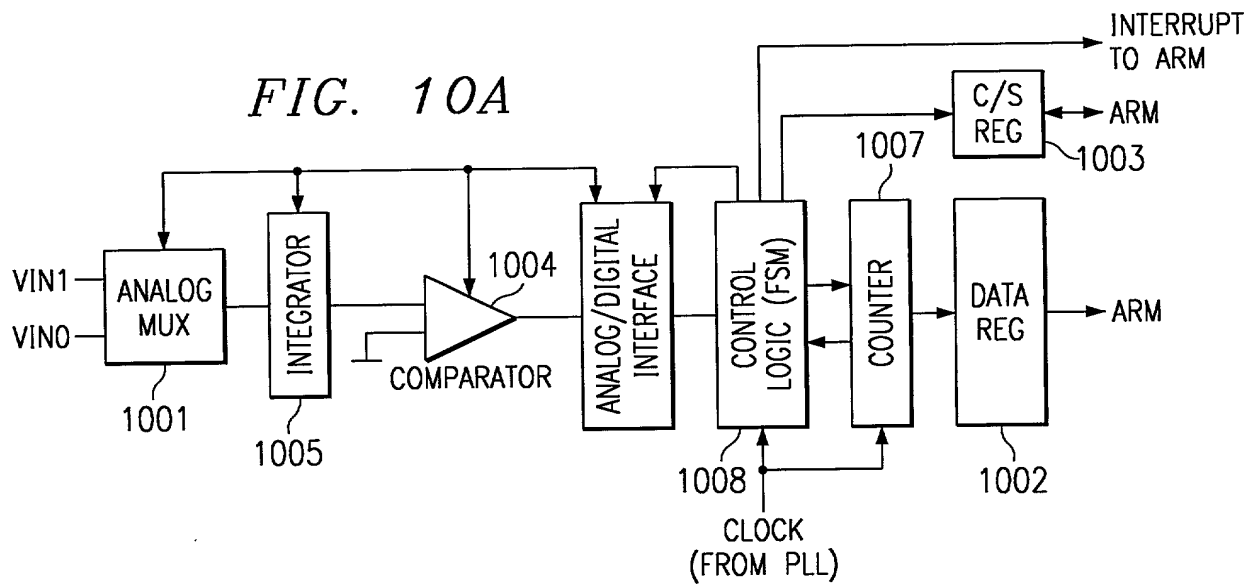


FIG. 10A



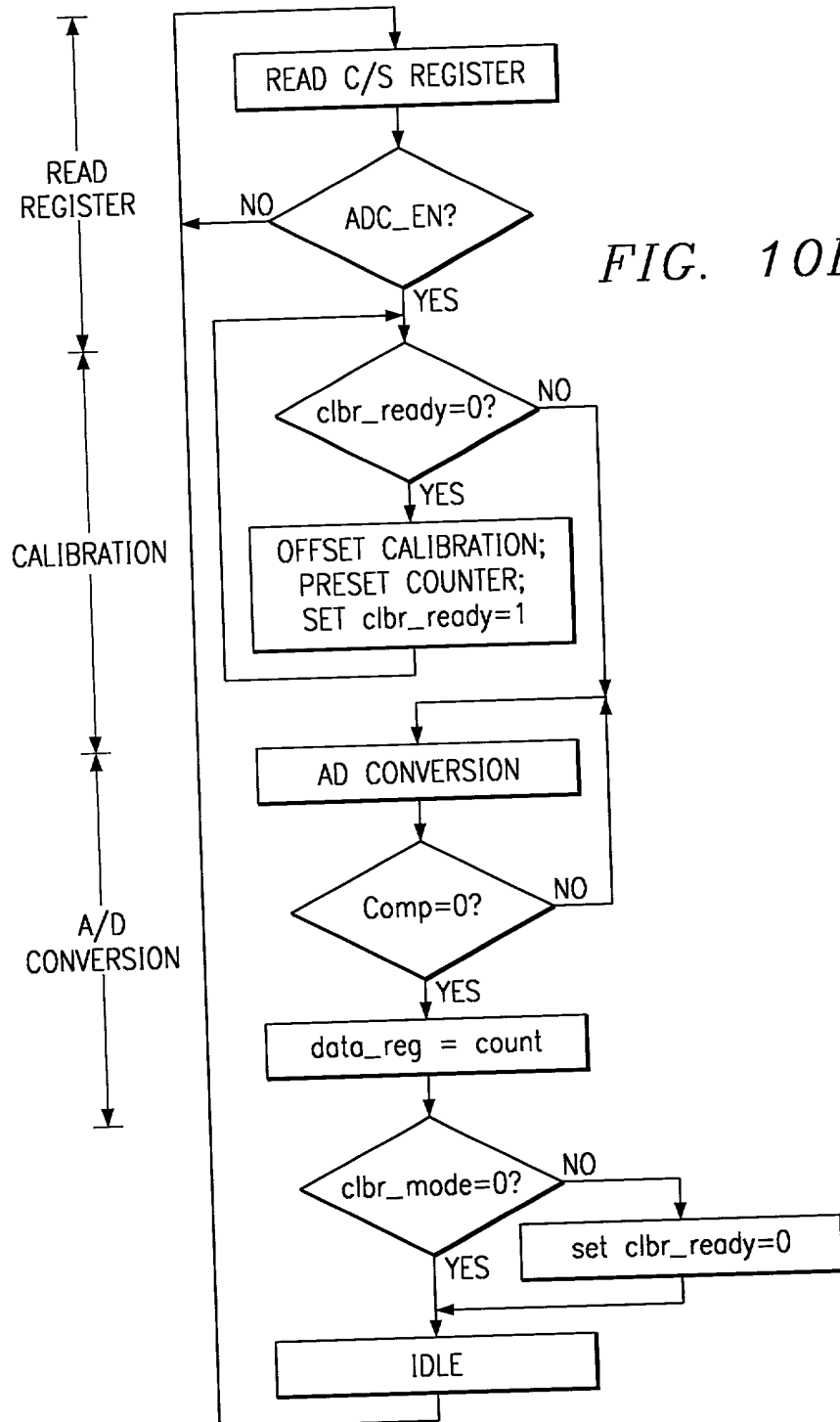


FIG. 11A

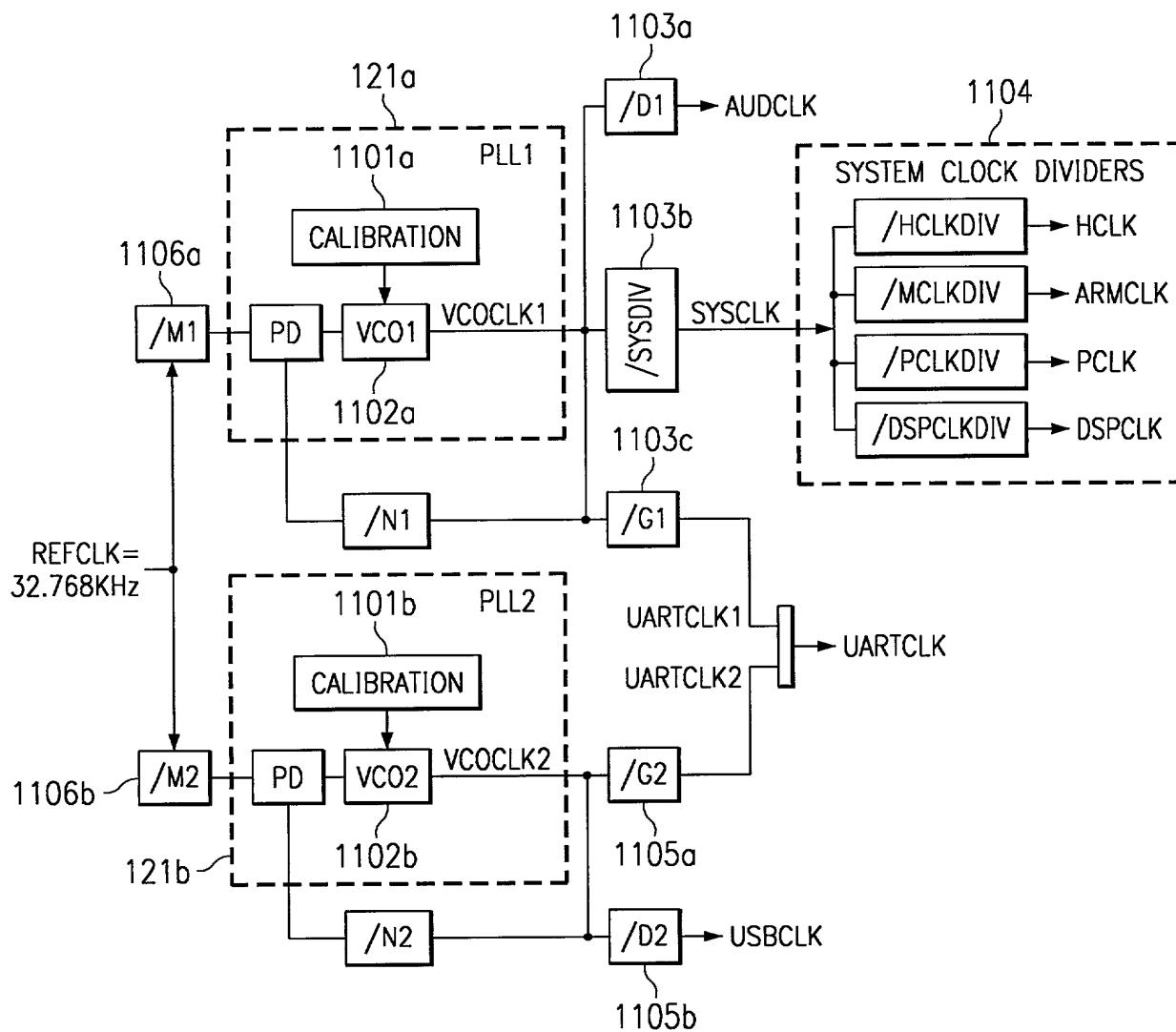


FIG. 11B

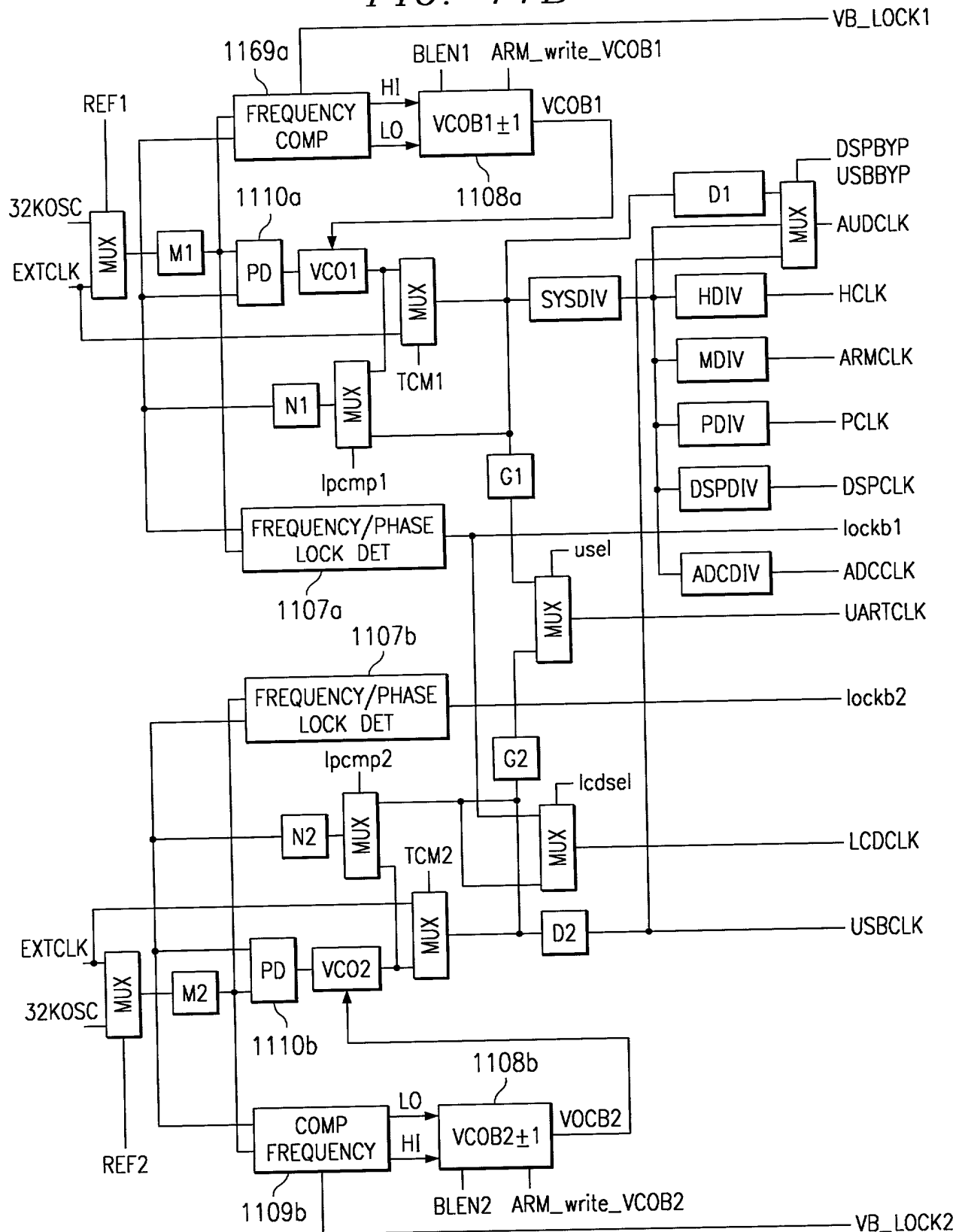


FIG. 11C

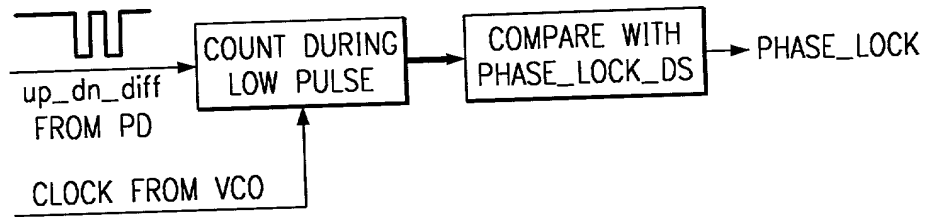


FIG. 11D

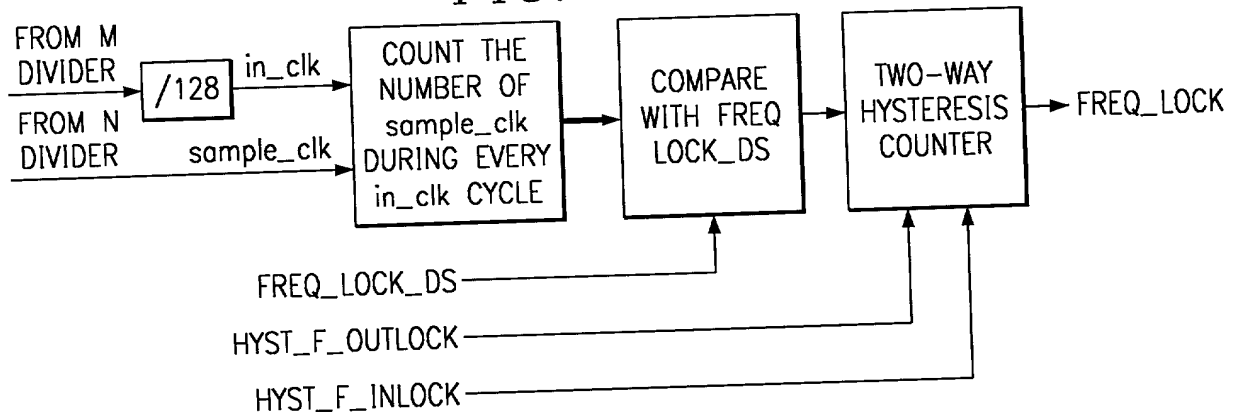


FIG. 12A

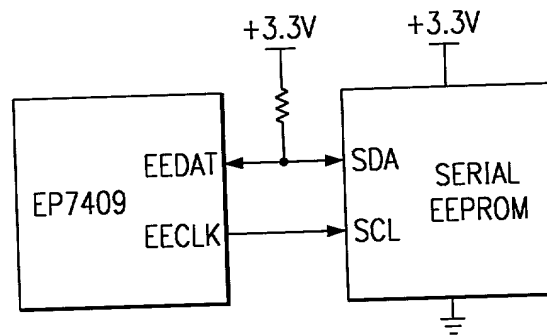
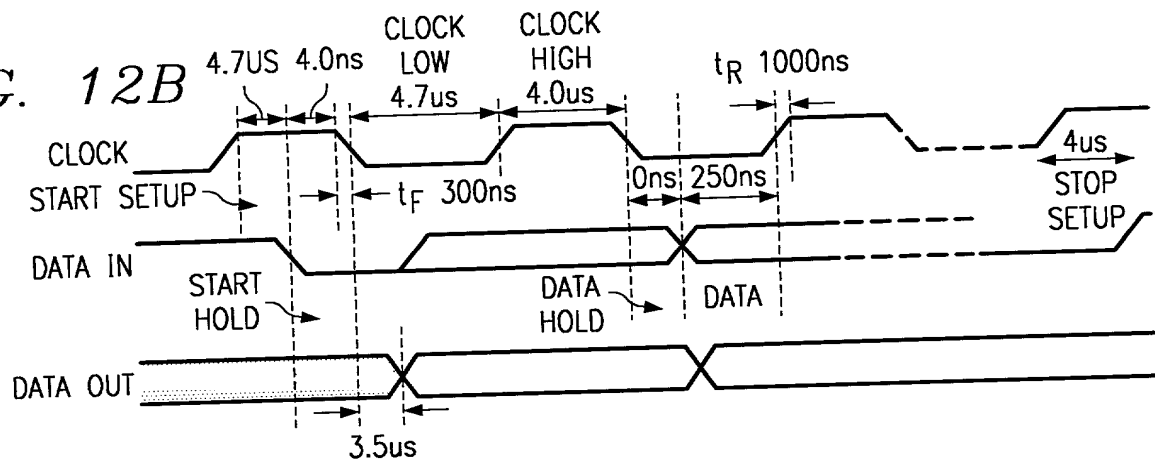
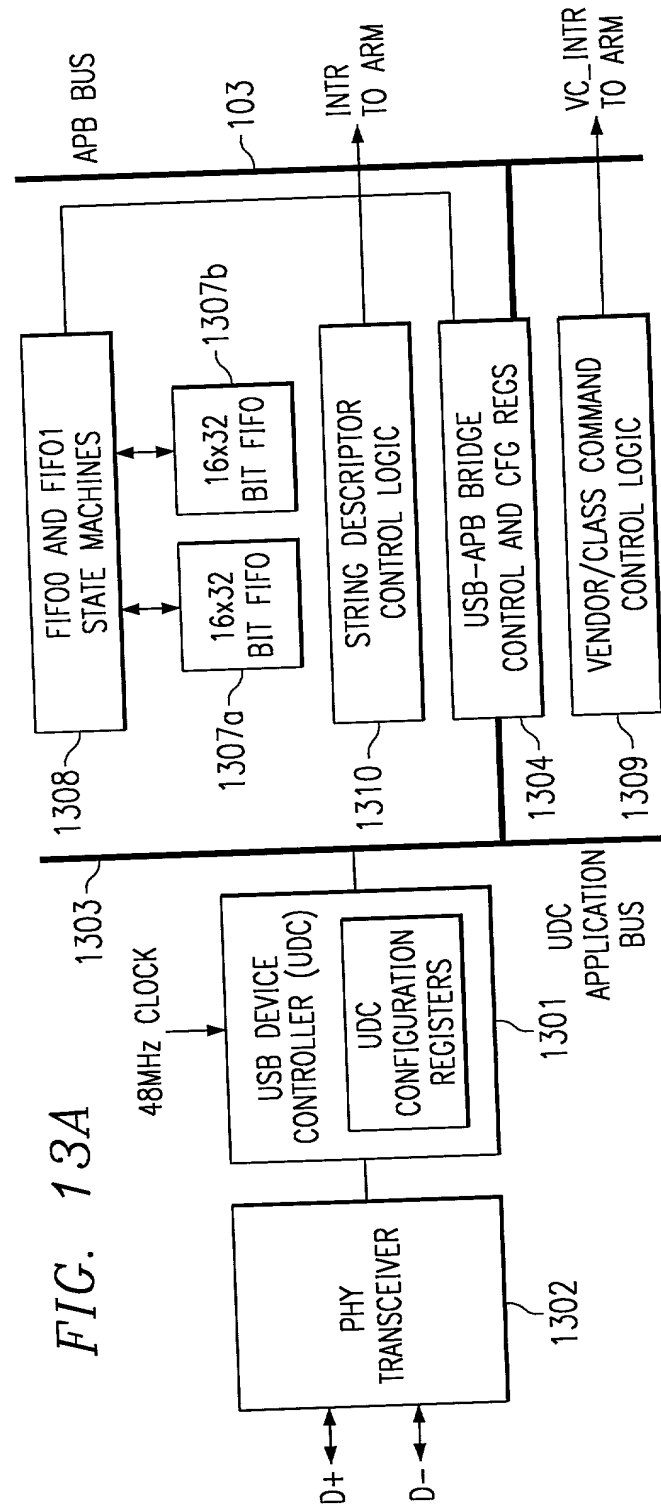
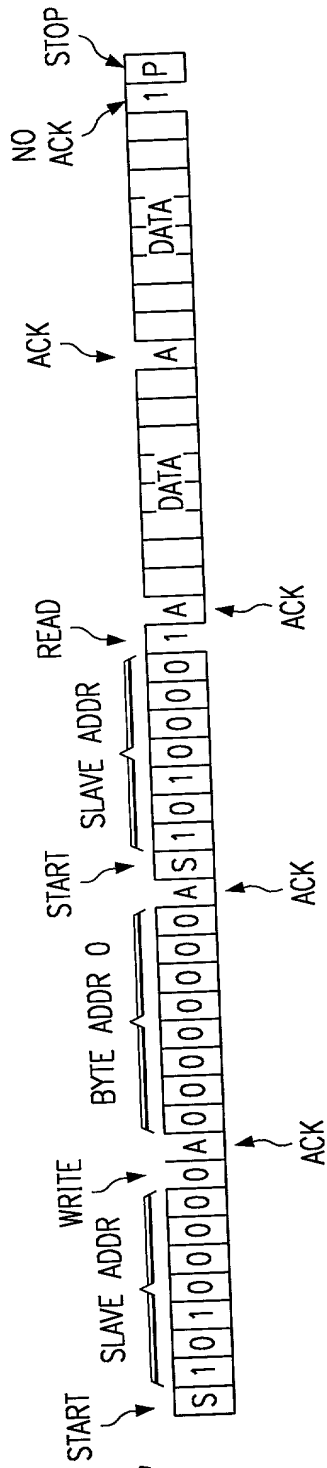


FIG. 12B





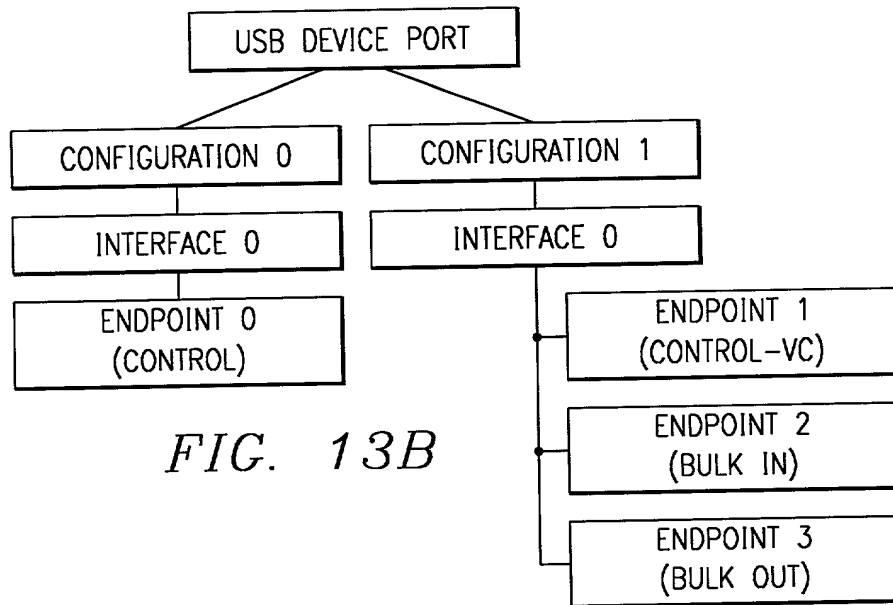


FIG. 13B

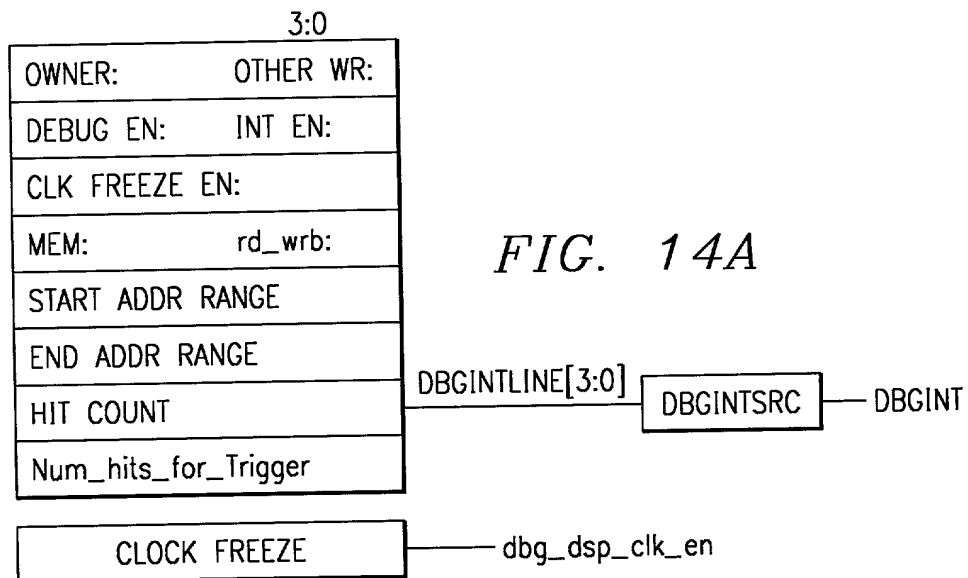


FIG. 14A

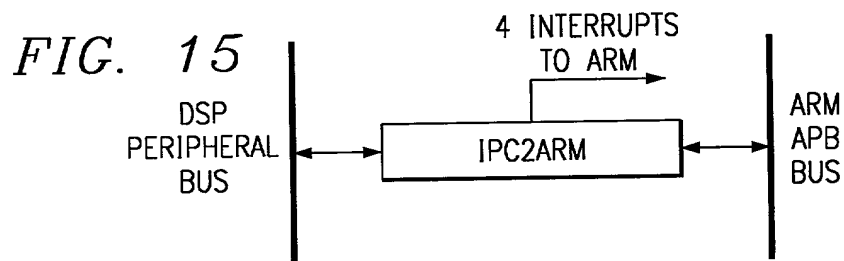


FIG. 15

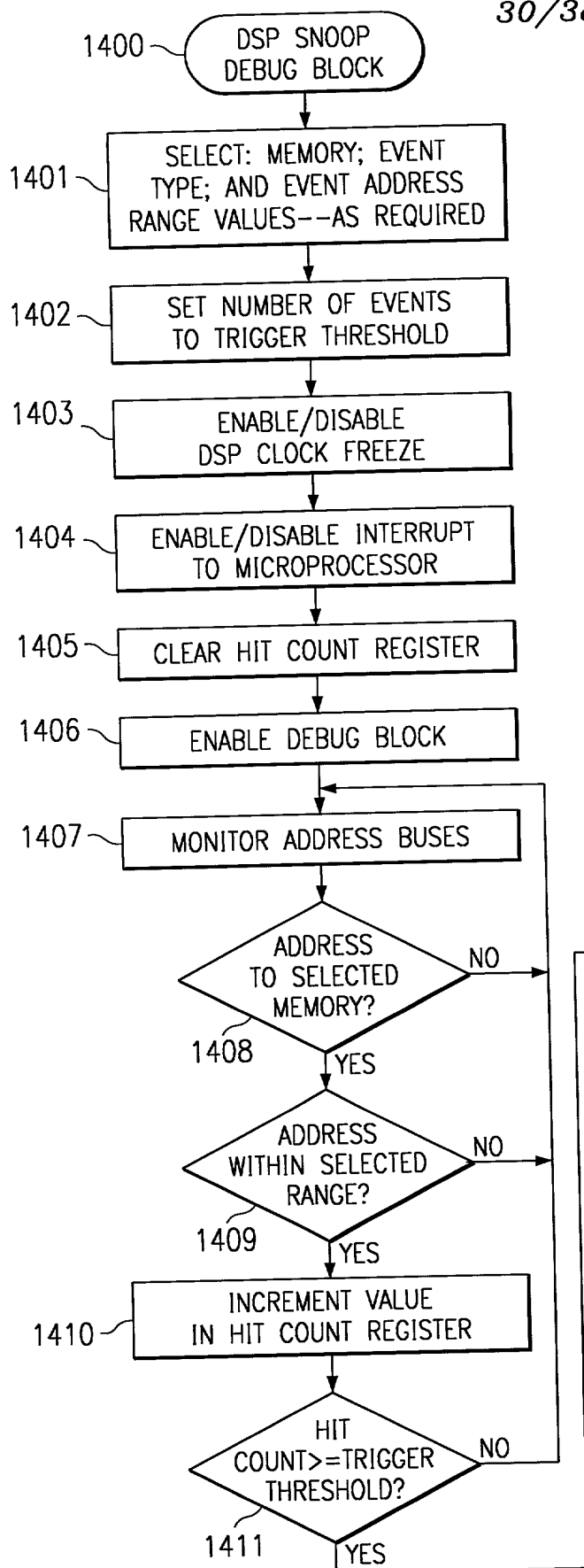


FIG. 14B

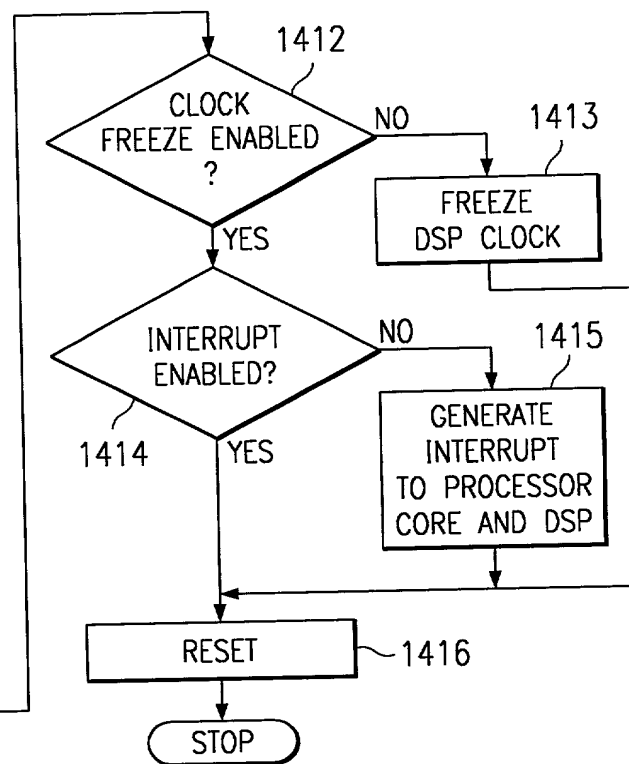


FIG. 16A

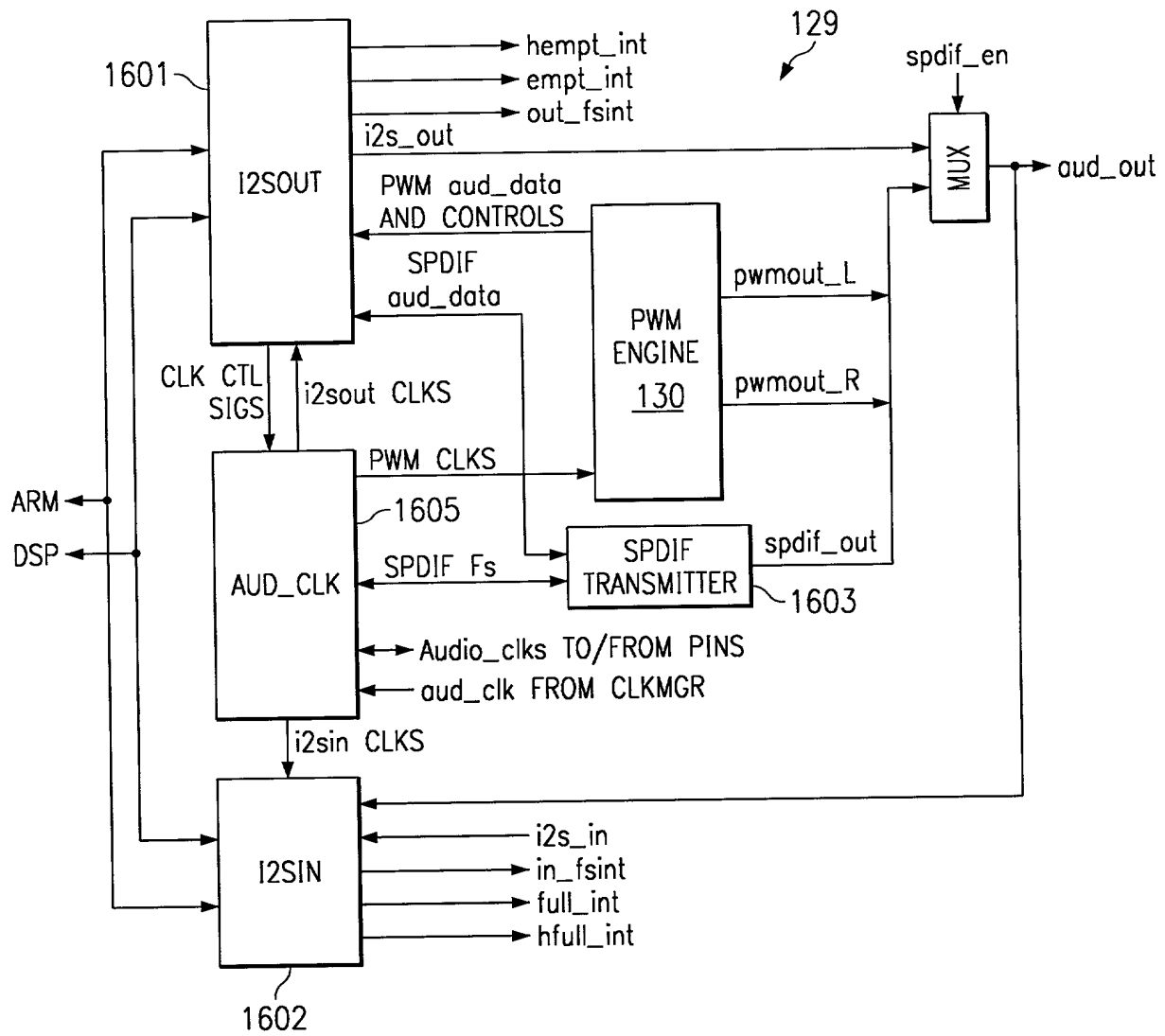


FIG. 16B

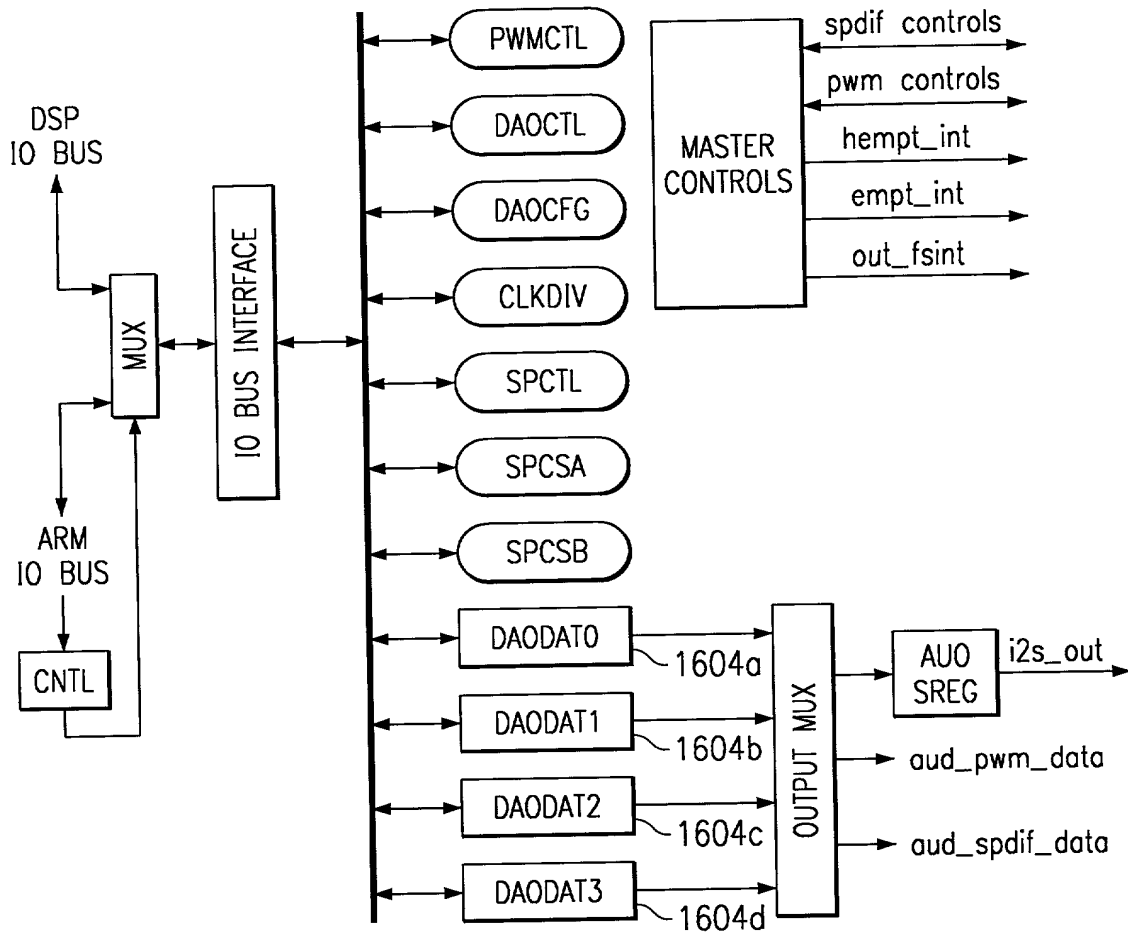
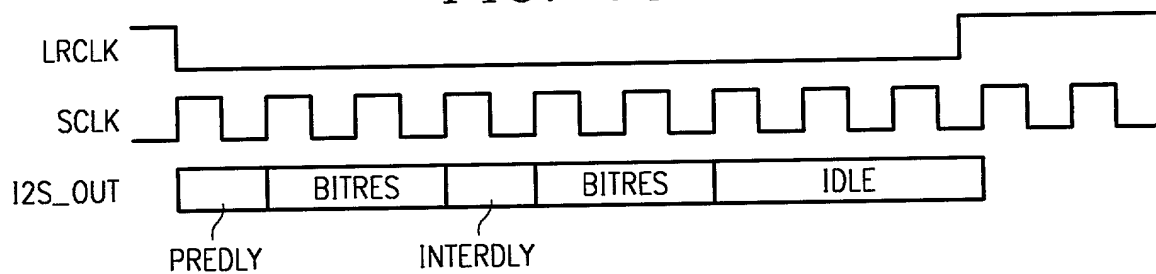


FIG. 16C



1602

FIG. 16D

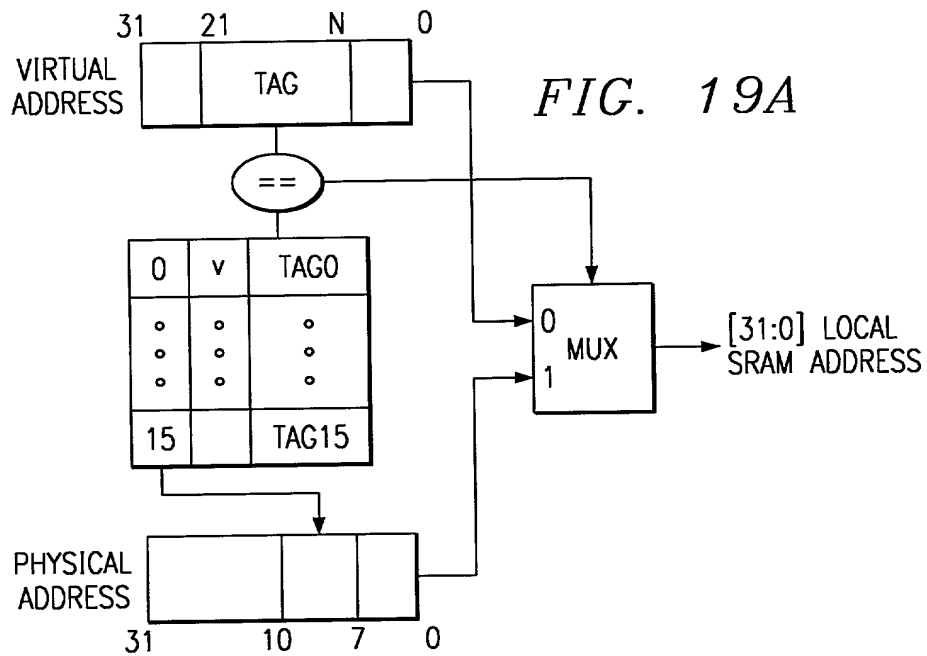
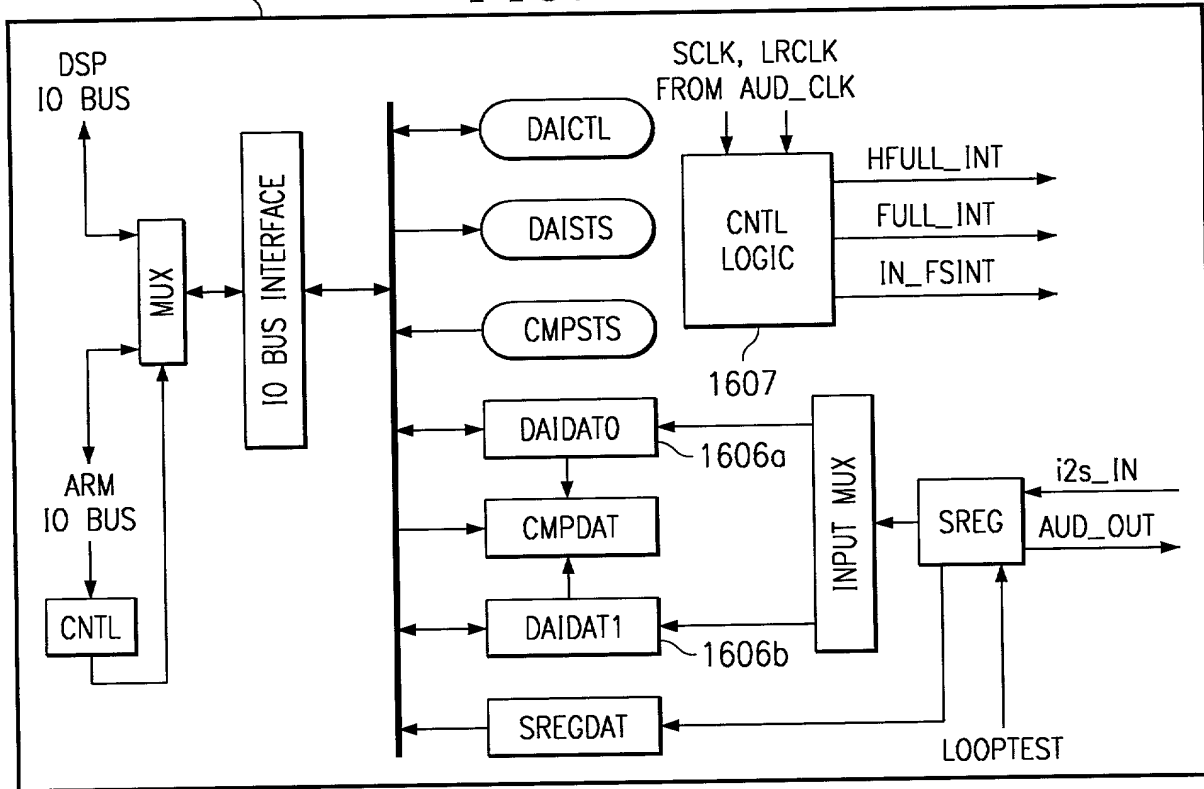


FIG. 19B

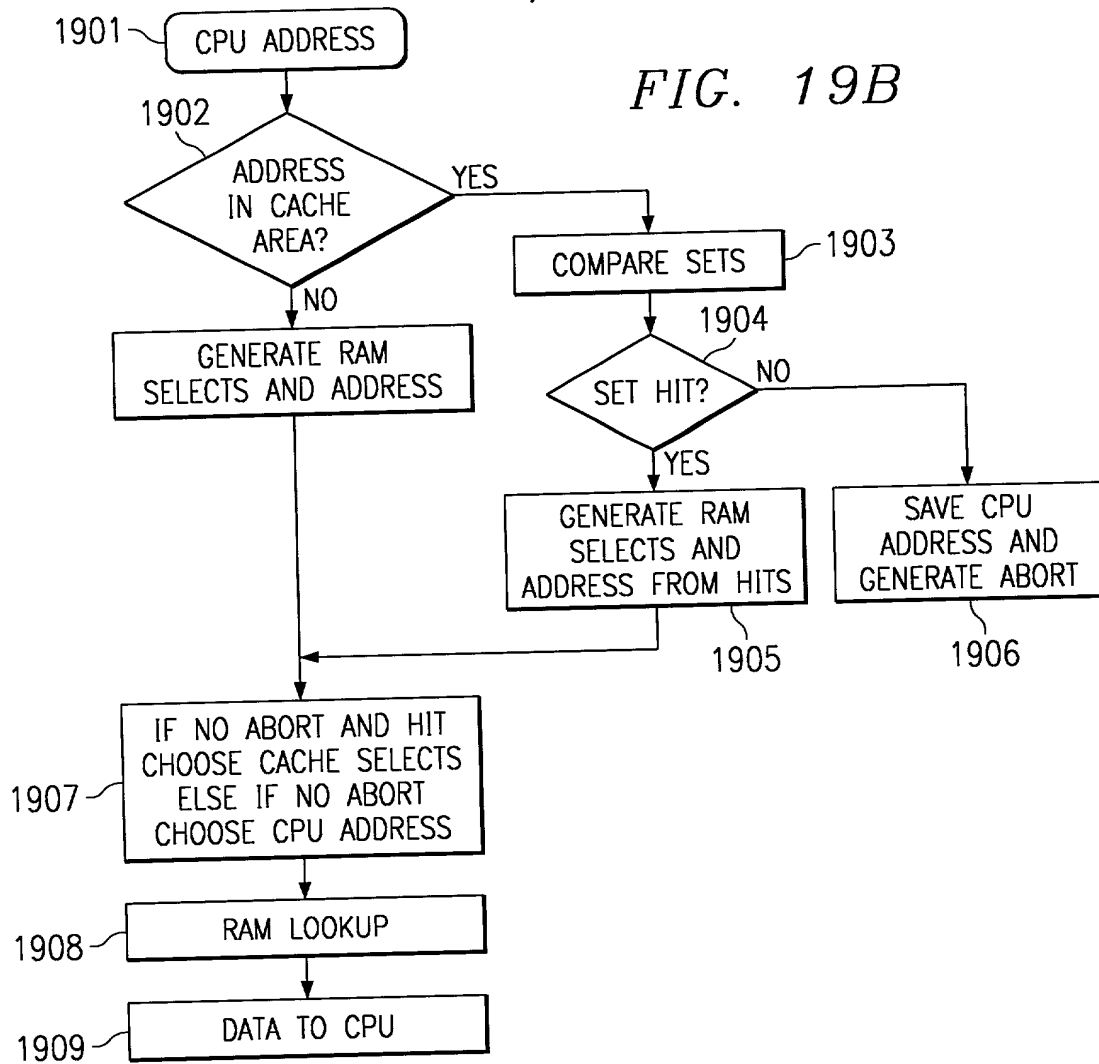
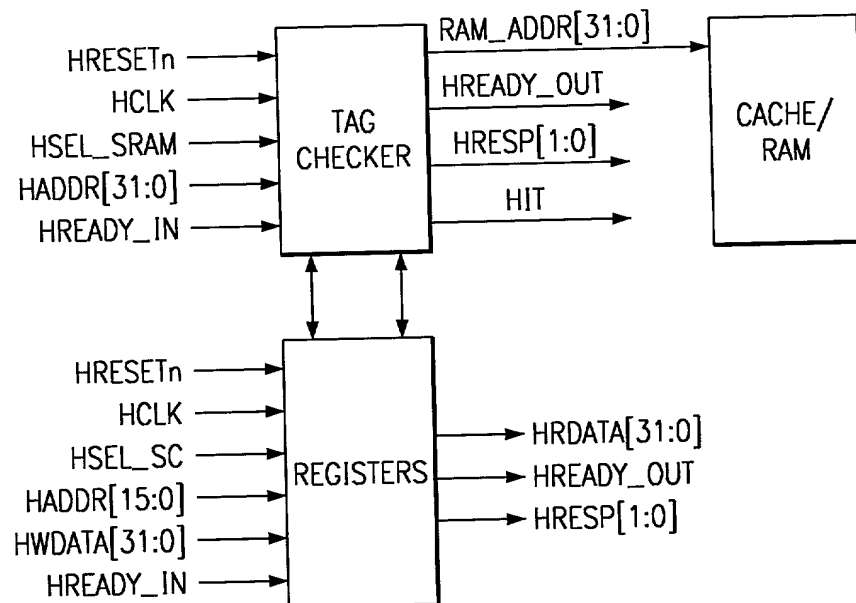


FIG. 19C



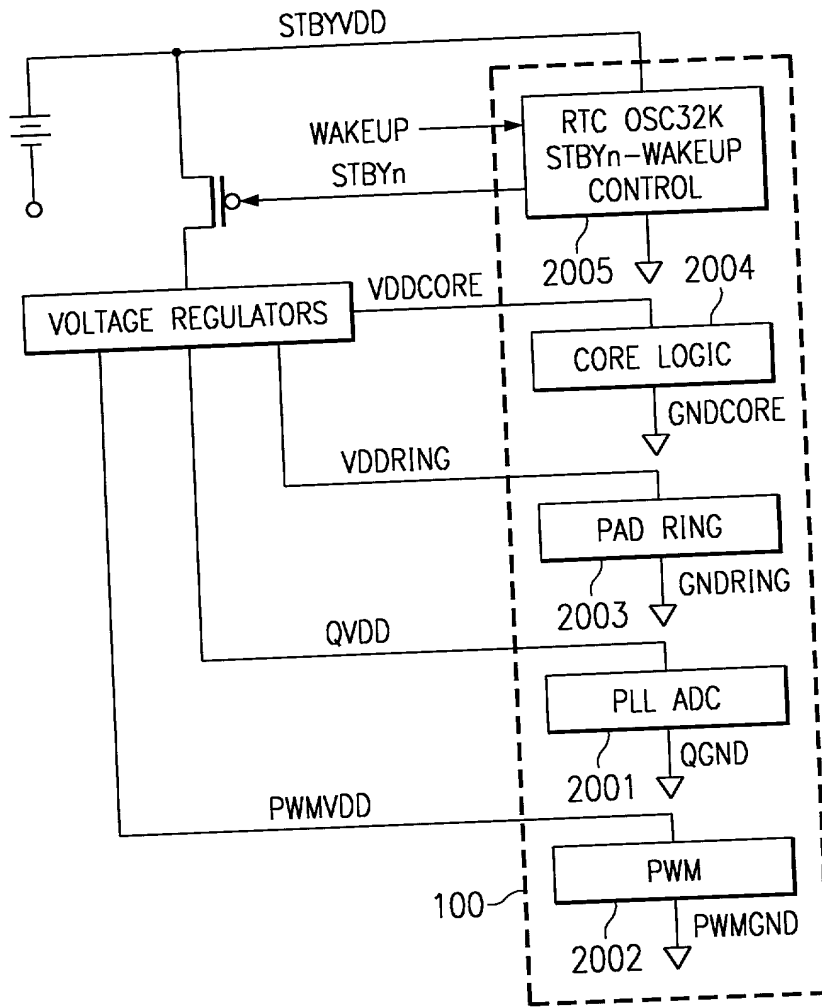


FIG. 20A

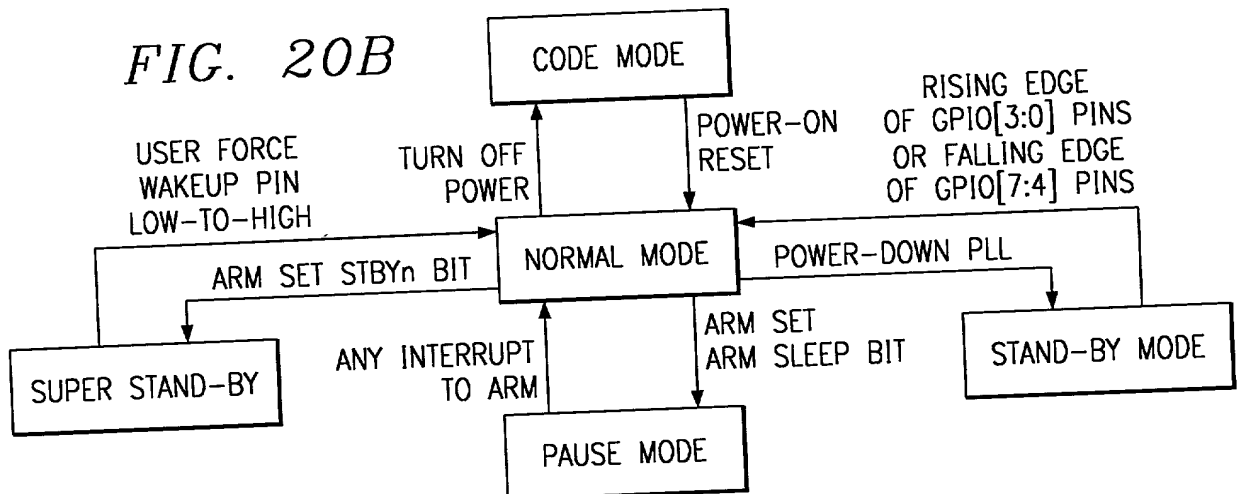


FIG. 20B

FIG. 20C

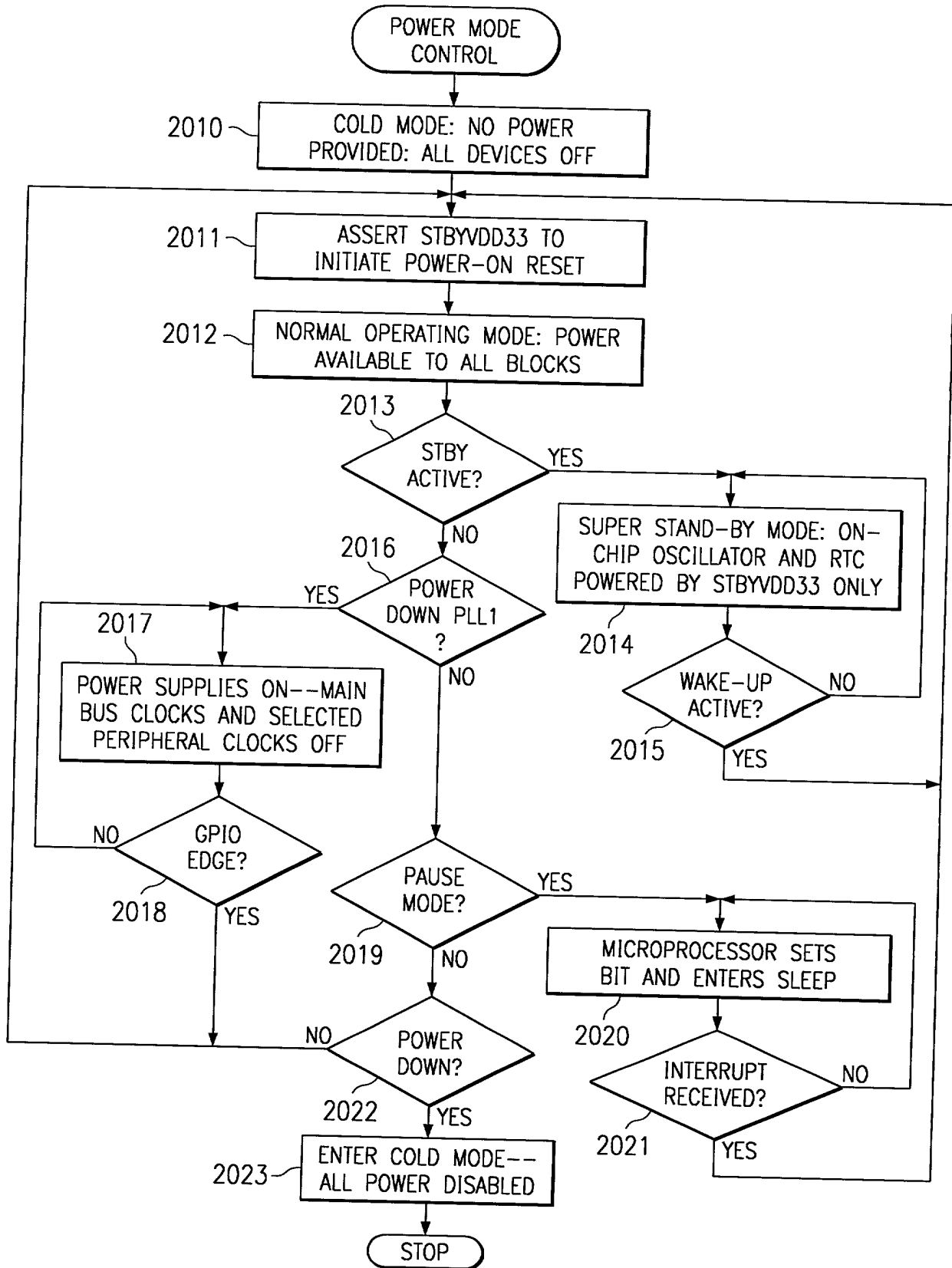
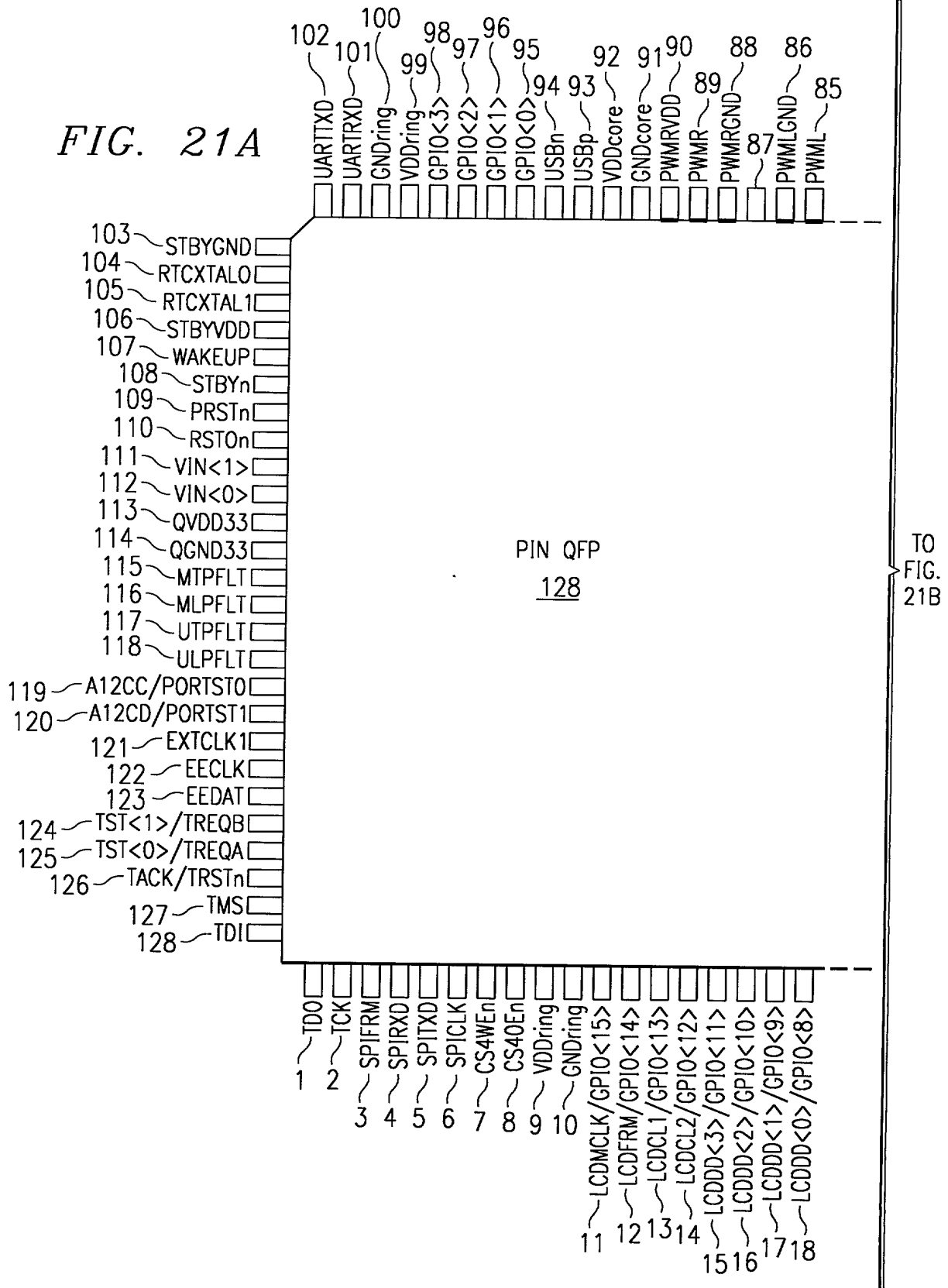


FIG. 21A

TO
FIG.
21B

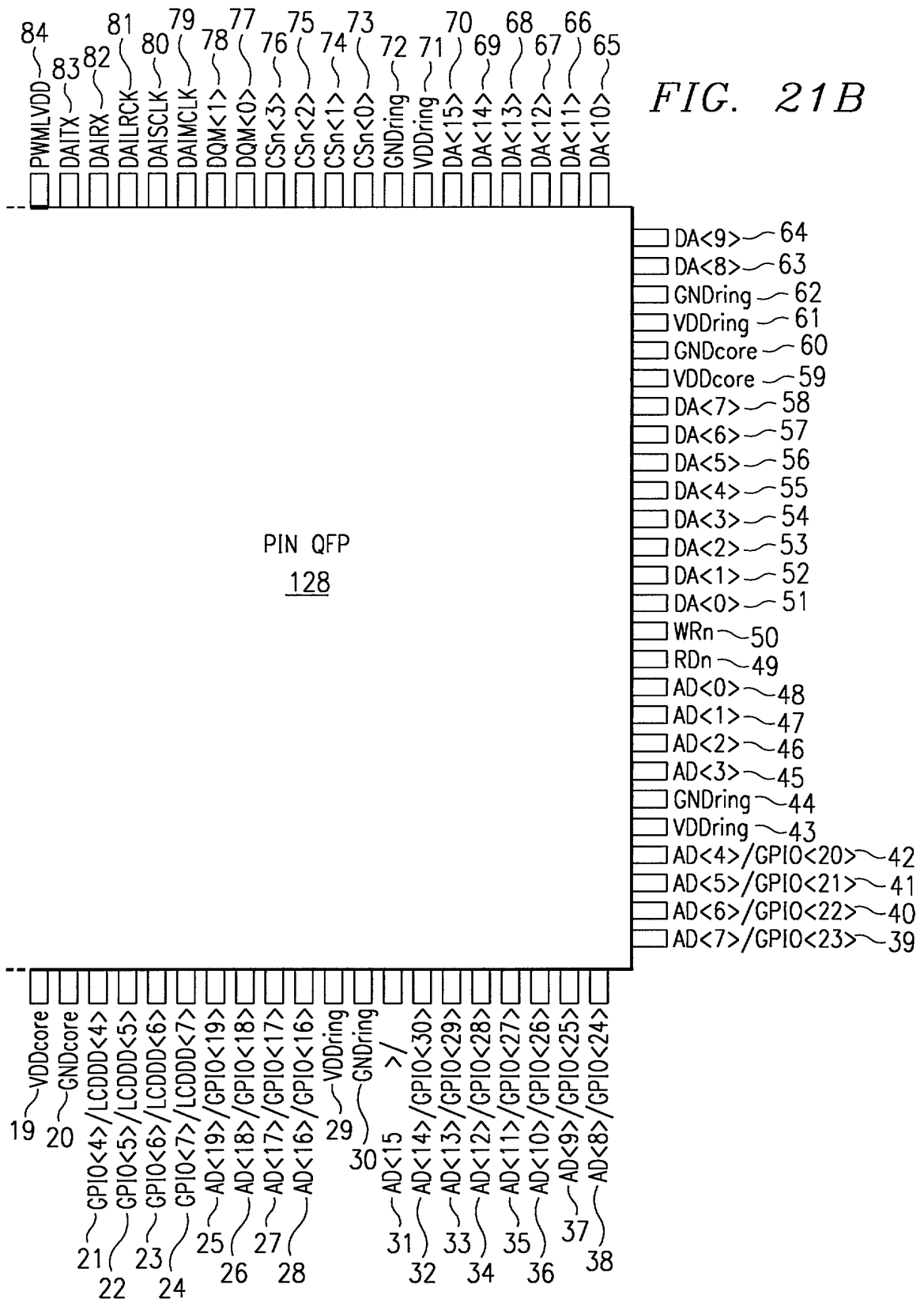
FROM
FIG.
21A

FIG. 21B